



**Tervise
Arengu
Instituut**

**Vähk Eestis:
haigestumus 2020,
elulemus 2016–2020 ja
hematoloogilised
kasvajad 2011–2020**

Raport

Vähk Eestis: haigestumus 2020, elulemus 2016–2020 ja hematoloogilised kasvajad 2011–2020

**Mari-Liis Zimmermann, Kaire Innos, Keiu Paapsi,
Pille Härmaorg, Margit Mägi**

Tallinn 2023

Sisukord

Mõisted	4
Lühendid.....	4
Lühikokkuvõte	5
Summary	7
Sissejuhatus ja metoodika	9
1 Sagedamad vähipaikmed	10
2 Haigestumus paikmeti	13
3 Haigestumus vanuseti	20
4 Täpsem diagnoosi kinnitanud uurimismeetod	25
5 Levik diagnoosimisel.....	32
5.1 Soliidkasvajate levik	32
5.2 Valitud paikmete TNMi staadium.....	39
6 Haigestumustrendid 1968–2020	41
6.1 Esmasjuhtude arv	41
6.2 Valitud paikmete haigestumustrendid	42
7 Levimus.....	44
8 Elulemus	46
9 Hematoloogilised kasvajakad.....	52
9.1 Haigestumus.....	52
9.2 Elulemus	62
Kasutatud kirjandus	63

Mõisted

Elulemus	tõenäosus olla elus teatud arv aastaid pärast diagnoosimist. Viie aasta suhteline elulemus on tõlgendatav kui patsientide protsent, kes on elus viis aastat pärast diagnoosimist
Leviisik	inimene, kellel on kunagi elu jooksul diagnoositud mõni pahaloomuline kasvaja
Levijuht	leviisikul elu jooksul diagnoositud pahaloomuline kasvaja
Levimus	olemasolevate ja uute haigusjuhtude esinemist märkiv näitaja määratud rahvastikus teatud ajahetkel või -vahemikul
Kasvaja morfoloogia	kasvajalise koe ehitus ja struktuur, mille järgi saab määrata kasvaja tüüpi
Soliidkasvaja	konkreetsest elundist alguse saanud kasvaja
Sõeluuring	tervetel, ilma kaebuste ja sümptomiteta inimestel tehtav uuring vähieelse seisundi või vähi varaseks avastamiseks
Tavaline haigestumuskordaja	standardimata haigestumuskordaja, mis väljendab esmashaigusjuhtude arvu aastakeskmise rahvaarvu suhtes mingil ajavahemikul
TNMI staadium	pahaloomulise kasvaja leviku ulatust määrav rühmitamise viis TNMi klassifikatsiooni järgi, kus T märgib kasvaja algkolde suurust ja lokaalse leviku ulatust, N lümfisõlmede haaratust ja M kaugmetastaaside olemasolu
Vanusestandarditud haigestumuskordaja	haigestumuskordaja, mis on kohandatud rahvastiku vanuselisele koostisele ja millest on riikide või perioodide võrdlemisel kõrvaldatud rahvastiku vanuselise koostise mõju haigestumusele (sh rahvastiku vananemise mõju)

Lühendid

RHK-10	Rahvusvaheline Haiguste Klassifikatsioon, 10. versioon
TAI	Tervise Arengu Instituut

Lühikokkuvõte

Eesti vähihaigestumuse andmed on kättesaadavad juba rohkem kui 50 aasta kohta – alates 1968. aastast. Aja jooksul on diagnoositud vähijuhtude arv märgatavalt kasvanud. 2020. aastal registreeriti Eestis kokku 8342 vähi esmasjuhtu, millest 4236 diagnoositi meestel ja 4106 naistel. Jättes välja naha mittemelanoomi, oli juhtude koguarv 7128. Kõige sagedamad pahaloomulised kasvaja meeste hulgas olid eesnäärme- ja kopsuvähk, mis moodustasid vastavalt 25% ning 14% kõigist vähi esmasjuhtudest meestel. Naiste hulgas diagnoositi kõige sagedamini rinnavähki ja naha mittemelanoomi, mis moodustasid vastavalt 19% ja 18% esmasjuhtudest. 2020. aastal registreeriti ligi 7% võrra vähem vähijuhte kui 2019. aastal – selle peamiseks põhjuseks võib esialgu pidada alanud COVID-19 pandeemiat, mille tõttu olid mitmed plaanilised tervishoiuteenused ja sõeluuringud piiratud.

Pikaajalises vaates on pahaloomuliste kasvaja esmasjuhtude absoluutarvu suurenemine seotud eeskätt rahvastiku vananemisega: rohkem kui kolmandik kõigist juhtudest diagnoositi üle 75aastastel inimestel. Kuni 54aasta vanuste naiste seas olid haigestumuskordajad veidi suuremad kui meestel, ent alates 55. eluaastast ületab meeste haigestumuskordaja märgatavalt naiste oma. Sagedamad vähipaikmed varieerusid vanuserühmiti. Lastel vanuses 0–14 diagnoositi 2020. aastal 26 pahaloomulise kasvaja esmasjuhtu, neist kõige sagedam oli nii poiste kui tüdrukute seas leukeemia. 15–34aastastel meestel diagnoositi 2020. aastal kõige sagedamini Hodgkini lümfoomi, munandivähki, naha mittemelanoomi ja peaaegu kasvaja, naistel aga naha mittemelanoomi, rinnavähki, emakakaelavähki ja nahamelanoomi. Noorte keskealiste ehk 35–54aastaste vanuserühmas leiti meestel kõige sagedamini naha mittemelanoomi ning eesnäärme- ja kopsuvähki, naistel oli esikohal rinnavähk. 55–74aastaste ja üle 75aastaste vanuserühmas domineerisid mõlema soo puhul samad vähipaikmed, mis üldrahvastikuski – meestel eesnäärme- ja kopsuvähk ning naha mittemelanoom, naistel rinnavähk ja naha mittemelanoom.

2020. aastal kinnitus pahaloomulise kasvaja diagnoos mikroskoopilise uuringu põhjal 90% patsientidel, mis peegeldab diagnoosimise head taset. Ainult surmatunnistuse alusel registreeriti 2% kõigist vähijuhtudest. Ligi pooltel patsientidel diagnoositi lokaalne kasvaja, ent umbes 20% mees- ja 15% naissoost patsientidel leiti kaugmetastaasid juba haiguse diagnoosimise ajal. Kõige murettekitavamaks paikmeks võib pidada kõhunäärmevähki, kuna ligi pooltel nii mees- kui naissoost patsientidel oli see diagnoosimise hetkeks andnud kaugmetastaase teistesse organitesse. Meeste seas oli sama olukord ka sapipõievähi puhul. Positiivse leiuna on 2019. aastaga võrreldes veidi suurenenud I staadiumis diagnoositud kopsuvähi ja nahamelanoomi juhtude osakaal ning IV staadiumis diagnoositud käär- ja pärasoolevähi juhtude osakaal on mõnevõrra vähenenud.

Viimasel aastakümnel on vanusestandarditud koguvähahaigestumus Eestis stabiliseerunud nii meeste kui naiste seas. Meeste seas on juba alates 1990. aastate lõpust vähenenud kopsuvähahaigestumus, naiste seas näitab see alles praegu stabiliseerumise märke, olles siiski meeste haigestumusest endiselt oluliselt madalam. Maovähi haigestumus vähenes mõlema soo hulgas.

Eelmise aastaga võrreldes vähenes 2020. aastal kõige rohkem ehk 20% nahamelanoomi juhtude arv. Rinna- ja jämesoolevähi juhtude arv vähenes ligi 8%, eesnäärmevähi puhul oli näha 7% langust. Emakakaelavähi juhtude arv vähenes lausa kolmandiku võrra, ent vajab täpsemat analüüsi ja pikaajalisemat jälgimist, kuivõrd see oli seotud pandeemiast tingitud diagnoosimata jäämise või ennetustegevusest tuleneva haigestumuse vähenemisega.

2020. aasta 31. detsembri seisuga elas Eestis 67 683 inimest, nende seas 27 502 meest ja 40 181 naist, kellel oli kunagi elu jooksul diagnoositud pahaloomuline kasvaja. Kõige levinumad kasvajad olid sarnaselt varasematele aastatele eesnäärme- ja rinnavähk.

Kõigi Eestis diagnoositud vähijuhtude ühe, viie ja kümne aasta suhteline elulemus oli 2016–2020 vastavalt 78%, 65% ja 61%. Enamiku paikmete puhul olid naiste elulemusnäitajad suuremad kui meestel. Võrdluses Põhjamaadega ilmneb Eesti vähipatsientide elulemuse mahajäämus eriti pea- ja kaelapiirkonna vähi (mehed), aga ka käär- ja pärasoolevähi, nahamelanoomi, rinnavähi ja mitte-Hodgkini lümfoomi puhul.

Hematoloogilistest kasvajatest diagnoositi aastatel 2011–2015 ja 2016–2020 nii meeste kui naiste seas kõige sagedamini B-rakulist kroonilist lümfotsüüt-leukeemiat/väikerakklyümfoomi ja difuusset B-suurrakklyümfoomi. Nii meeste kui naiste seas oli viie aasta suhteline elulemus 2016–2020 aastatel kõrgeim Hodgkini lümfoomi (89%) ja krooniliste müeloproliferatiivsete haiguste puhul (meestel 74%, naistel 87%). Viie aasta suhteline elulemus oli nii meestel kui naistel madalaim ägedate müeloidleukeemiate puhul (vastavalt 10% ja 15%).

Summary

Estonian cancer incidence data are available for more than 50 years – since 1968. Over the years, the annual number of new cancer cases has increased significantly. In 2020, 8342 new cancer cases were registered in Estonia, of which 4236 were diagnosed in men and 4106 in women. Excluding non-melanoma skin cancer, the overall number of cancer cases was 7128. Leading cancer sites in men were the prostate (25% of all cancers in men) and lung (14%). In women, the leading sites were the breast and non-melanoma skin (19% and 18% of all cancers in women, respectively). Compared to 2019, the number of cancer cases decreased by 7% in 2020, probably due to the COVID-19 pandemic, which limited access to screening programs and regular health care services.

The increase in cancer cases in the long term is partly caused by the ageing of the population – more than a third of all cases in 2020 were diagnosed in patients older than 75 years. About 66% of all malignant tumours were diagnosed in patients older than 65 years. Among 54-year-old and younger women, cancer incidence was lower than among men in the same age, however, from the age 55, cancer incidence in men was remarkably higher than in women. The most frequent cancer sites vary across age groups. Among children aged 0–14 26 cases of malignant tumours were diagnosed, most frequent was leukemia among boys as well as girls. In the age group 15–34, the leading cancer sites were Hodgkin's lymphoma, testis, non-melanoma skin and brain in men and non-melanoma skin, breast, cervix and melanoma in women. In the age group 35–54, the most common cancer sites were the prostate, lung and non-melanoma skin in men; the breast and non-melanoma skin in women. Among patients aged 55–74 years, as well as those aged 75 or older, the leading sites were the same as in the general population – the prostate and lung in men and the breast and non-melanoma skin in women.

The proportion of microscopically verified cases was 90%, while ca 2% of cases were registered on the basis of death certificates only (DCO cases). Half of the new cancer cases diagnosed in 2020 were localized at the time of diagnosis, but ca 20% of men and 15% of women already had distant metastasis. The highest proportion of distant metastasis at diagnosis (almost half) was seen in pancreatic cancer both in men and women. In men, this was also the case in gallbladder cancer. On the positive side, compared to 2019, the proportion of stage I cases has slightly increased for lung cancer and skin melanoma and the proportion of stage IV colorectal cancer has somewhat decreased.

The age-standardized total cancer incidence rates have levelled off in the past decade both in men and women. In men, lung cancer incidence has been decreasing since the end of 1990-s, whereas in women it has stabilized in recent years; however, lung cancer is still much more common in men than in women. The rate of stomach cancer decreased in both sexes.

Compared to 2019, the number of cases decreased in 2020 by 20% for skin melanoma, by 8% for breast and rectal cancer and by 7% for prostate cancer. The number of cervical cancer cases decreased by 30%, but it needs further analysis to understand whether the decline was caused by the COVID-19 pandemic or decreasing incidence due to prevention activities.

On 31st December 2020, there were 67,683 persons (27,502 men and 40,181 women) in the population of Estonia with a history of cancer. The most frequent cancer sites among prevalent cases were prostate and breast as in previous years.

In 2016–2020, the one-year, five-year and ten-year relative survival estimates for all cancer cases diagnosed in Estonia were 78%, 65% and 61%, respectively. For most sites, survival estimates were higher for women than for men. In comparison with the Nordic

countries, the survival gap remained for head and neck cancers (in men), colon and rectal cancer, skin melanoma, breast cancer and non-Hodgkin lymphoma.

Regarding haematological tumours, B-cell chronic lymphocytic leukemia/small lymphocytic lymphoma and malignant lymphoma (large B-cell, diffuse) were diagnosed most frequently both in men and women in 2011–2015 and 2016–2020. Among men and women, the five-year relative survival in 2016–2020 was highest for Hodgkin lymphoma (89%) and chronic myeloproliferative disorders (men 74%, women 87%). The lowest five-year relative survival estimates were seen for acute myeloid leukemias for both men and women (10% and 15%, respectively).

Sissejuhatus ja meetodika

Eesti vähihaigestumusstatistika põhineb kogu rahvastikku hõlmava vähiregistri andmetel, mille põhiline ülesanne on tagada võimalikult täielik ja usaldusväärne vähijuhtude registreerimine. Peale vähihaigestumusstatistika avaldamise võimaldavad registri andmed analüüsida vähielulemust ja viia läbi teadusuuringuid. Tänu registri pikaajalisele andmestikule on Eestis põhjalik ülevaade vähi esinemisest läbi aastakümnete. 2023. aastal saab Eesti Vähiregister ametlikult 45aastaseks.

Käesoleva raporti andmed põhinevad vähiregistri 14.03.2023 seisul.

Vähiregistris kasutatakse kasvaja paikme ja morfoloogilise vormi kodeerimiseks rahvusvahelise haiguste klassifikatsiooni onkoloogiaosa kolmandat väljaannet (RHK-O-3) ning diagnoosikoodid teisendatakse rahvusvahelise haiguste klassifikatsiooni 10. väljaande (RHK-10) koodideks, kasutades spetsiaalset rahvusvahelist arvutiprogrammi [1]. Vanusestandarditud haigestumuskordajate arvutamisel võetakse aluseks maailma standardrahvastik [2].

Eestis kuuluvad teatamisele kõik pahaloomulised kasvajakud (C00–C97), *in situ* kasvajakud (D00–D09), peaaaju- ja kesknärvisüsteemi (KNS), samuti peaaaju piirkonnas paiknevate sisesekreetsiooninäärmete healoomulised ning ebaselge ja määratlemata loomusega kasvajakud (D32.0–D33.9, D35.2–D35.4, D42.0–D43.9, D44.3–D44.5), lümfoid- ja vereloomekoe ning nendesarnaste kudede muud kasvajakud (D45–D47).

Vähiregistri pikem tutvustus ja tegevuste täpsem kirjeldus on leitav Tervise Arengu Instituudi (TAI) kodulehelt (<https://tai.ee/et/statistika-ja-registrid/vahiregister>).

Joonisel 1, tabelites 6a ja 6b, kus on toodud esmasjuhtude jaotus täpseima diagnoosi kinnitanud uurimismeetodi järgi, ning tabelites 7a ja 7b, kus on esmasjuhtude jaotus leviku järgi diagnoosimisel, on juhtude osakaalu protsendid ümardatud ning osakaalude summa ei pruugi olla täpselt 100.

Vähielulemuse analüüsi kaasati vähiregistris registreeritud eluajal diagnoositud pahaloomuliste kasvajakute esmasjuhud täiskasvanutel (vanus ≥ 15 aastat). Patsientide elustaatus tehti kindlaks surma põhjuste registri ja rahvastikuregistri andmete põhjal. Vähielulemust mõõdeti ühe, viie ja kümne aasta suhtelise elulemusmäärana, mis arvutati patsientide tegeliku ja eeldatava elulemusmäärana jagatisena [3]. Eeldatav elulemusmäär leiti soo, vanuse ja kalendriaasta järgi kihitatud Eesti rahvastiku elutabelite põhjal Edereri II meetodil [4]. Ühe, viie või kümne aasta suhteline vähielulemus näitab, mitu protsenti patsientidest on elus (ei ole surnud vähi tagajärjel) vastavalt üks, viis või kümme aastat peale diagnoosimist. Perioodi 2016–2020 elulemusmäärade arvutamiseks kasutati perioodmeetodit [5]. Vanusele standardimiseks kasutati rahvusvahelisi standardeid [6]. Et hinnata valitud paikmete elulemuse muutust ajas, arvutati vanusestandarditud viie aasta suhteline elulemus 2010–2014 ja 2016–2020 aastate kohta (varasema perioodi korral kasutati kohortmeetodit) [5].

Hematoloogiliste kasvajakute andmeid vaadeldi kahe ajavahemiku jooksul: aastatel 2011–2015 ja 2016–2020. Analüüsi kaasati isikud alates 15. eluaastast ning haigestumuse tabelis on esitatud morfoloogiad, mille puhul juhtude arv perioodis 2011–2020 oli kokku üle 50 juhu.

1 Sagedamad vähipaikmed

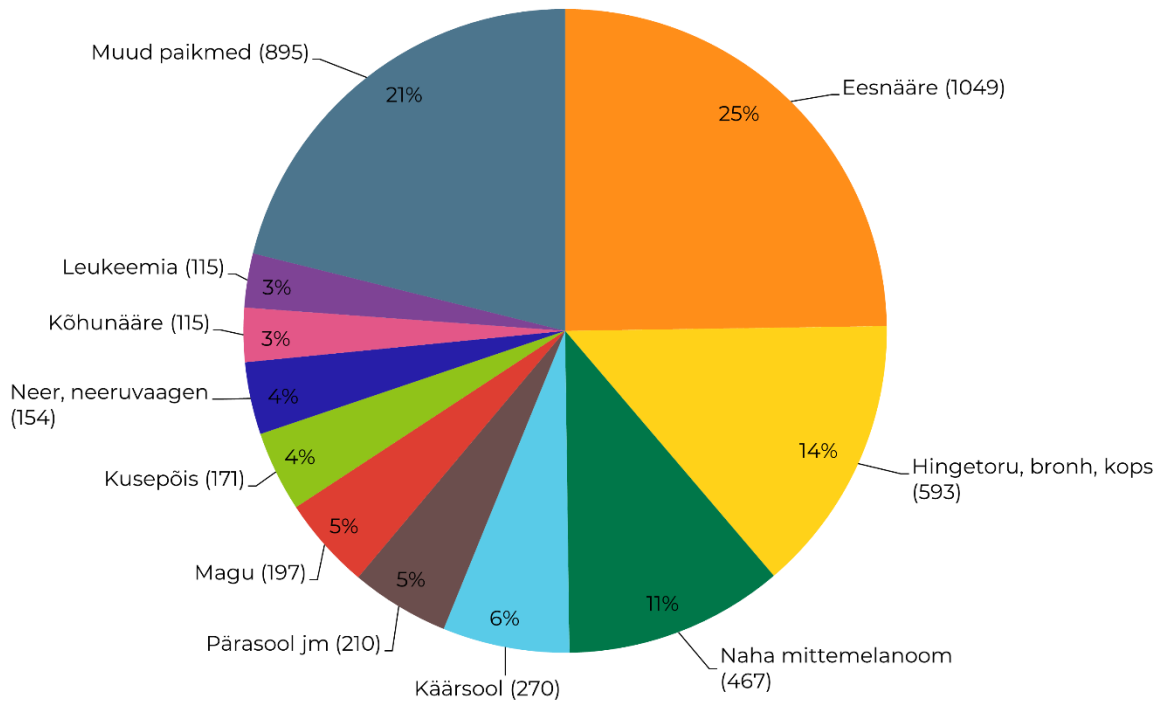
2020. aastal registreeriti Eestis 8342 uut vähijuhtu, neist 4236 esines meestel ja 4106 naistel. Jättes välja naha mittemelanoomi, oli juhtude koguarv 7128. Sagedamad vähipaikmed on toodud joonisel 1.

Kõige sagedam pahaloomuline kasvaja meestel oli eesnäärmevähk, mis moodustas ligi 25% kõigist vähijuhtudest. Järgnesid kopsuvähk (14%) ja naha mittemelanoom (11%). Käärsoolevähk moodustas meestel veidi üle 6%, pärasoole- ja maovähk 5% ning kusepõievähk 4% vähi esmasjuhtudest. Kümne sagedamini esineva vähipaikme hulka kuulusid meestel veel neeru- ja neeruvaagnavähk, kõhunäärmevähk ning samuti leukeemia.

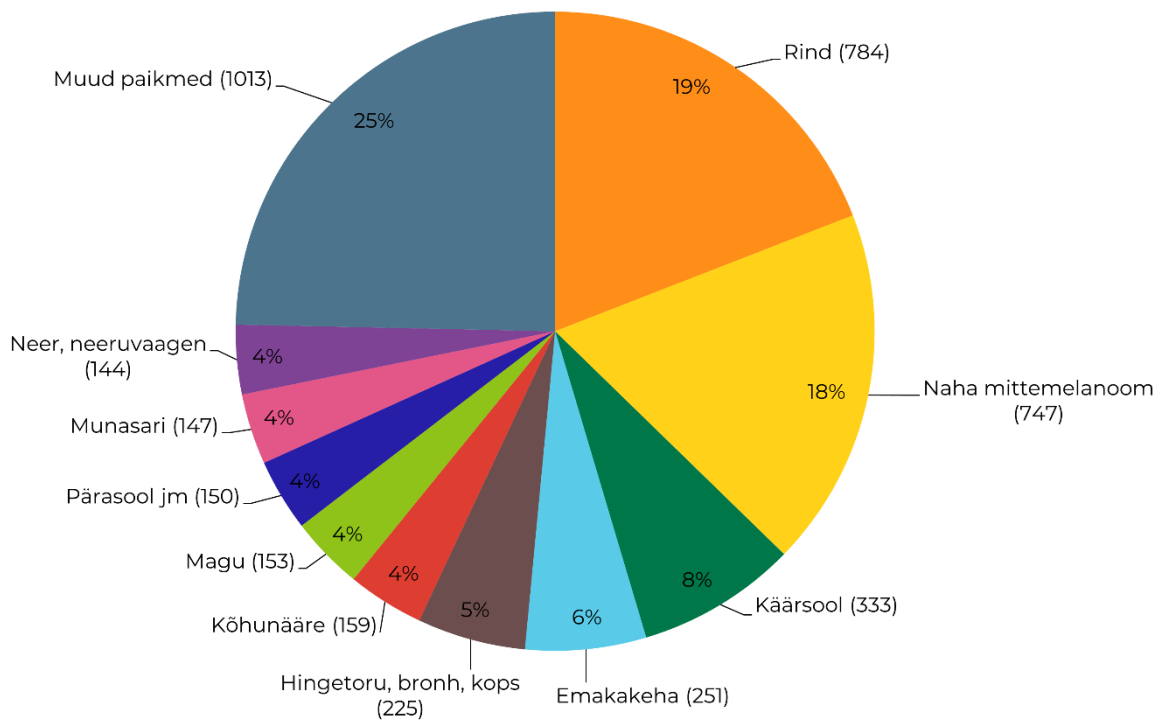
Naistel esines kõige rohkem rinnavähki ja naha mittemelanoomi, mis moodustasid vastavalt 19% ja 18% kõigist esmasjuhtudest naistel. Järgnesid käärsoolevähk (8%) ning emakakeha- (6%) ja kopsuvähk (5%). Kümne sagedamini esineva vähipaikme hulka kuulusid naistel veel kõhunäärme-, mao-, pärasoole-, munasarja- ning neeru ja neeruvaagnavähk.

Tabelid 1a (mehed) ja 1b (naised) sisaldavad kümne sagedama vähipaikme haigestumuse põhinäitajaid: esmasjuhtude arvu, protsenti kõigist vähi esmasjuhtudest ning tavalist ja vanusestandarditud haigestumuskordajat.

Mehed



Naised



Joonis 1. Sagedamad vähipaikmed Eestis 2020. aastal (n, %)

Tabel 1a. Sagedamad vähipaikmed meestel Eestis 2020. aastal

Paige	RHK-10	Esmasjuhud		Haigestumuskordaja 100 000 inimese kohta	
		Arv	%	Tavaline	Standarditud*
Eesnääre	C61	1049	24,8	166,5	89,0
Hingetoru, bronh, kops	C33–C34	593	14,0	94,1	49,0
Nahk (mittemelanoom)	C44	467	11,0	74,1	37,5
Käärsool	C18	270	6,4	42,9	21,5
Pärasool jm	C19–21	210	5,0	33,3	17,1
Magu	C16	197	4,7	31,3	16,6
Kusepõis	C67	171	4,0	27,1	13,2
Neer, neeruvaagen	C64–C65	154	3,6	24,4	13,7
Kõhunääre	C25	115	2,7	18,3	9,6
Leukeemia	C91–C95	115	2,7	18,3	10,9
Kõik paikmed	C00–C97	4236	100	672,3	363,3

* Vanusestandarditud maailma standardrahvastiku alusel.

Tabel 1b. Sagedamad vähipaikmed naistel Eestis 2020. aastal

Paige	RHK-10	Esmasjuhud		Haigestumuskordaja 100 000 inimese kohta	
		Arv	%	Tavaline	Standarditud*
Rind	C50	784	19,1	112,1	60,1
Nahk (mittemelanoom)	C44	747	18,2	106,8	41,7
Käärsool	C18	333	8,1	47,6	16,4
Emakakeha	C54	251	6,1	35,9	16,6
Hingetoru, bronh, kops	C33–C34	225	5,5	32,2	11,5
Kõhunääre	C25	159	3,9	22,7	7,0
Magu	C16	153	3,7	21,9	7,7
Pärasool jm	C19–C21	150	3,7	21,4	8,8
Munasari	C56	147	3,6	21,0	9,9
Neer, neeruvaagen	C64–C65	144	3,5	20,6	8,5
Kõik paikmed	C00–C97	4106	100	587,1	256,4

* Vanusestandarditud maailma standardrahvastiku alusel.

2 Haigestumus paikmeti

Kõigi pahaloomuliste kasvajate esmasjuhtude arv ning tavaline ja vanusestandarditud haigestumuskordaja 100 000 inimese kohta meestel ja naistel vähipaikmeti on toodud tabelites 2a ja 2b. Esmasjuhtude jaotus vanuserühmiti ja haigestumuse vanusekordajad vähipaikmeti on kättesaadavad TAI tervisestatistika ja terviseuuringute andmebaasist haigestumusandmete alt (<https://statistika.tai.ee/>).

Lümfoid- ja vereloomekoe ning nendesarnaste kudede pahaloomuliste kasvajate vastavad andmed on esitatud tabelites 3a ja 3b. Siia kuuluvad ka mõned RHK-10 järgi ebaselge või teadmata loomusega kasvajate rubriigi kasvajakasvajakad (D45–D47), mida nüüdseks käsitletakse pahaloomulistena.

Lisaks pahaloomulistele kasvajatele kuuluvad vähiregistris registreerimisele ka *in situ* kasvajakasvajakad ning peaja- ja KNS või peaja piirkonnas paiknevate sisesekreetsiooni-näärmete healoomulised ning ebaselge ja teadmata loomusega kasvajakasvajakad. Nende kasvajate esmasjuhtude arv ning haigestumuskordajad 2020. aastal meestel ja naistel on esitatud tabelites 4a ja 4b.

Tabel 2a. Esmasjuhtude arv, tavaline ja vanusestandarditud haigestumuskordaja vähipaikmeti Eestis 2020, mehed

Paige	RHK-10	Esmasjuhtude arv	Haigestumuskordaja 100 000 inimese kohta	
			Tavaline	Standarditud*
Kõik paikmed	C00–C97	4236	672,3	363,3
Kõik paikmed, v.a nahk (mittemelanoom)	C00–C97, v.a C44	3769	598,2	325,8
Huul, suuõõs, neel	C00–C14	139	22,1	13,4
Huul	C00	6	1,0	0,5
Keel	C01–C02	25	4,0	2,6
Ige, suupõhi jm	C03–C06	29	4,6	2,9
Suured süljenäärmed	C07–C08	14	2,2	1,4
Mandel, suuneel	C09–C10	32	5,1	3,1
Ninaneel	C11	4	0,6	0,4
Pirnsopis, alaneel	C12–C13	26	4,1	2,4
Huul, suuõõs, neel (muu)	C14	3	0,5	0,3
Seedeelundid	C15–C26	987	156,6	82,3
Söögitoru	C15	62	9,8	6,1
Magu	C16	197	31,3	16,6
Peensool	C17	11	1,7	1,0
Käärsool	C18	270	42,9	21,5
Pärasool jm	C19–C21	210	33,3	17,1
Maks jm	C22	98	15,6	8,6
Sapipõis jm	C23–C24	18	2,9	1,4
Kõhunääre	C25	115	18,3	9,6
Seedeelundid (muu)	C26	6	1,0	0,5

* Vanusestandarditud maailma standardrahvastiku alusel.

Tabel 2a. (järg)

Paige	RHK-10	Esmas-juhtude arv	Haigestumuskordaja 100 000 inimese kohta	
			Tavaline	Standarditud*
Hingamis-, rindkeresisesed elundid	C30–C39	651	103,3	53,9
Ninaõõs, kõrv, ninakõrvalurked	C30–C31	6	1,0	0,5
Kõri	C32	47	7,5	4,0
Hingetoru, bronh, kops	C33–C34	593	94,1	49,0
Tüümus, süda, keskseinand, pleura	C37–C38	5	0,8	0,5
Hingamiselundid jm	C39	—	—	—
Luu, liigeskõhr	C40–C41	6	1,0	0,7
Nahk (melanoom)	C43	85	13,5	8,1
Nahk (mittemelanoom)	C44	467	74,1	37,5
Mesoteelkude ja pehmed koed	C45–C49	32	5,1	2,9
Rind	C50	6	1,0	0,6
Meessuguelundid	C60–C63	1093	173,5	94,3
Suguti	C60	10	1,6	0,9
Eesnääre	C61	1049	166,5	89,0
Munand	C62	33	5,2	4,3
Meessuguelundid (muu)	C63	1	0,2	0,1
Kuseelundid	C64–C68	333	52,9	27,6
Neer, neeruvaagen	C64–C65	154	24,4	13,7
Kusejuha	C66	4	0,6	0,3
Kusepõis	C67	171	27,1	13,2
Kuseelundid (muu)	C68	4	0,6	0,3
Silm	C69	12	1,9	0,9
Peaaju ja kesknärvisüsteem	C70–C72	52	8,3	5,4
Ajukelmed	C70	1	0,2	0,1
Peaaju	C71	50	7,9	5,0
Kesknärvisüsteem (muu)	C72	1	0,2	0,3
Kilpnääre	C73	26	4,1	2,8
Sisesekretsiooninäärmed (muu)	C74–C75	4	0,6	0,7
Paige teadmata või täpsustamata	C76–C80	60	9,5	4,7
Hodgkini lümfoom	C81	19	3,0	3,6
Mitte-Hodgkini lümfoom	C82–C85/96	103	16,3	9,5
Immunoproliferatiivhaigused	C88	2	0,3	0,1
Hulgimüeloom	C90	44	7,0	3,6
Leukeemia	C91–C95	115	18,3	10,9
Sõltumatud hulgipaikmed	C97	—	—	—

* Vanusestandarditud maailma standardrahvastiku alusel.

Tabel 2b. Esmasjuhtude arv, tavaline ja vanusestandarditud haigestumuskordaja vähipaikmeti Eestis 2020, naised

Paige	RHK-10	Esmasjuhtude arv	Haigestumuskordaja 100 000 inimese kohta	
			Tavaline	Standarditud*
Kõik paikmed	C00–C97	4106	587,1	256,4
Kõik paikmed, v.a nahk (mittemelanoom)	C00–C97, v.a C44	3359	480,3	214,7
Huul, suuõõs, neel	C00–C14	70	10,0	5,1
Huul	C00	4	0,6	0,1
Keel	C01–C02	9	1,3	0,7
Ige, suupõhi jm	C03–C06	21	3,0	1,6
Suured süljenäärmed	C07–C08	9	1,3	0,9
Mandel, suuneel	C09–C10	18	2,6	1,2
Ninaneel	C11	1	0,1	—
Pirnsopis, alaneel	C12–C13	5	0,7	0,4
Huul, suuõõs, neel (muu)	C14	3	0,4	0,2
Seedeelundid	C15–C26	921	131,7	46,5
Söögitoru	C15	18	2,6	1,0
Magu	C16	153	21,9	7,7
Peensool	C17	15	2,1	1,1
Käärsool	C18	333	47,6	16,4
Pärasool jm	C19–C21	150	21,4	8,8
Maks jm	C22	54	7,7	2,7
Sapipõis jm	C23–C24	33	4,7	1,5
Kõhunääre	C25	159	22,7	7,0
Seedeelundid (muu)	C26	6	0,9	0,3
Hingamis-, rindkeresisesed elundid	C30–C39	234	33,5	12,2
Ninaõõs, kõrv, ninakõrvalurked	C30–C31	2	0,3	0,1
Kõri	C32	5	0,7	0,4
Hingetoru, bronh, kops	C33–C34	225	32,2	11,5
Tüümus, süda, keskseinand, pleura	C37–C38	2	0,3	0,1
Hingamiselundid jm	C39	—	—	—
Luu, liigeskõhr	C40–C41	6	0,9	0,7
Nahk (melanoom)	C43	108	15,4	9,0
Nahk (mittemelanoom)	C44	747	106,8	41,7
Mesoteelkude ja pehmed koed	C45–C49	31	4,4	2,1

* Vanusestandarditud maailma standardrahvastiku alusel.

Tabel 2b. (järg)

Paige	RHK-10	Esmas-juhtude arv	Haigestumuskordaja 100 000 inimese kohta	
			Tavaline	Standarditud*
Rind	C50	784	112,1	60,1
Naissuguelundid	C51–C58	573	81,9	39,6
Häbe, tupp	C51–C52	44	6,3	2,1
Emakakael	C53	115	16,4	9,9
Emakakeha	C54	251	35,9	16,6
Emakas (osa täpsustamata)	C55	2	0,3	0,1
Munasari	C56	147	21,0	9,9
Naissuguelundid (muu)	C57	14	2,0	1,1
Platsenta	C58	—	—	—
Kuseelundid	C64–C68	197	28,2	10,8
Neer, neeruvaagen	C64–C65	144	20,6	8,5
Kusejuha	C66	5	0,7	0,2
Kusepõis	C67	48	6,9	2,0
Kuseelundid (muu)	C68	—	—	—
Silm	C69	12	1,7	1,0
Peaaju ja kesknärvisüsteem	C70–C72	33	4,7	3,0
Ajukelmed	C70	1	0,1	—
Peaaju	C71	32	4,6	3,0
Kesknärvisüsteem (muu)	C72	—	—	—
Kilpnääre	C73	57	8,1	4,8
Sisesekretsiooninäärmed (muu)	C74–C75	6	0,9	0,4
Paige teadmata või täpsustamata	C76–C80	59	8,4	2,3
Hodgkini lümfoom	C81	19	2,7	2,5
Mitte-Hodgkini lümfoom	C82–C85/96	98	14,0	5,7
Immunoproliferatiivhaigused	C88	6	0,9	0,2
Hulgimüeloom	C90	48	6,9	2,4
Leukeemia	C91–C95	97	13,9	6,3
Sõltumatud hulgipaikmed	C97	—	—	—

* Vanusestandarditud maailma standardrahvastiku alusel.

Tabel 3a. Lümfoid- ja vereloomekoe ning nendesarnaste kudede kasvajate esmasjuhtude arv ning tavaline ja vanusestandarditud haigestumuskordaja paikmeti Eestis 2020, mehed

Paige	RHK-10	Esmasjuhtude arv	Haigestumuskordaja 100 000 inimese kohta	
			Tavaline	Standarditud*
Hodgkini lümfoom	C81	19	3,0	3,6
Mitte-Hodgkini lümfoom	C82–C85/96	103	16,3	9,5
Immunoproliferatiivhaigused	C88	2	0,3	0,1
Hulgimüeloom	C90	44	7,0	3,6
Leukeemia	C91–C95	115	18,3	10,9
Lümfoidleukeemia	C91	68	10,8	6,3
Äge lümfoidleukeemia	C91.0	6	1,0	1,2
Krooniline lümfoidleukeemia	C91.1	61	9,7	5,0
Lümfoidleukeemia (muu)	C91.2–C91.9	1	0,2	0,1
Müeloidleukeemia	C92	45	7,1	4,3
Äge müeloidleukeemia	C92.0	19	3,0	1,6
Krooniline müeloidleukeemia	C92.1	20	3,2	2,1
Müeloidleukeemia (muu)	C92.2–C92.9	6	1,0	0,7
Leukeemia (muu)	C93–C95	2	0,3	0,2
Tõeline polütsüteemia	D45	19	3,0	1,7
Müelodüsplastilised sündroomid	D46	22	3,5	1,5
Lümfoid- ja vereloomekoe ning nendesarnaste kudede muud kasvajad	D47	56	8,9	4,8

* Vanusestandarditud maailma standardrahvastiku alusel.

Tabel 3b. Lümfoid- ja vereloomekoe ning nendesarnaste kudede kasvajate esmasjuhtude arv ning tavaline ja vanusestandarditud haigestumuskordaja paikmeti Eestis 2020, naised

Paige	RHK-10	Esmasjuhtude arv	Haigestumuskordaja 100 000 inimese kohta	
			Tavaline	Standarditud*
Hodgkini lümfoom	C81	19	2,7	2,5
Mitte-Hodgkini lümfoom	C82–C85/96	98	14,0	5,7
Immunoproliferatiivhaigused	C88	6	0,9	0,2
Hulgimüeloom	C90	48	6,9	2,4
Leukeemia	C91–C95	97	13,9	6,3
Lümfoidleukeemia	C91	49	7,0	3,4
Äge lümfoidleukeemia	C91.0	5	0,7	1,2
Krooniline lümfoidleukeemia	C91.1	41	5,9	2,1
Lümfoidleukeemia (muu)	C91.2–C91.9	3	0,4	0,2
Müeloidleukeemia	C92	44	6,3	2,4
Äge müeloidleukeemia	C92.0	28	4,0	1,1
Krooniline müeloidleukeemia	C92.1	12	1,7	0,9
Müeloidleukeemia (muu)	C92.2–C92.9	4	0,6	0,4
Leukeemia (muu)	C93–C95	4	0,6	0,4
Tõeline polütsüteemia	D45	18	2,6	1,2
Müelodüsplastilised sündroomid	D46	33	4,7	1,5
Lümfoid- ja vereloomekoe ning nendesarnaste kudede muud kasvajad	D47	61	8,7	3,3

* Vanusestandarditud maailma standardrahvastiku alusel.

Tabel 4a. *In situ*, healoomuliste ja ebaselge või teadmata loomusega kasvajate* esmasjuhtude arv ning tavaline ja vanusestandarditud haigestumuskordaja paikmeti Eestis 2020, mehed

Paige	RHK-10	Esmasjuhtude arv	Haigestumuskordaja 100 000 inimese kohta	
			Tavaline	Standarditud**
Kasvajad <i>in situ</i>	D00–D09	151	24,0	12,1
Peaaju ja kesknärvisüsteemi healoomulised ja ebaselge või teadmata loomusega kasvajad	D32, D33, D42, D43	24	3,8	2,7
Ajukelmed	D32, D42	10	1,6	0,9
Peaaju ja kesknärvisüsteem	D33, D43	14	2,2	1,7
Peaaju piirkonnas paiknevate siseseretsiooninäärmete healoomulised ja ebaselge või teadmata loomusega kasvajad	D35.2–D35.4, D44.3–D44.5	4	0,6	0,5

* Vähiregistrisse teatamisele kuuluvad kasvajad.

** Vanusestandarditud maailma standardrahvastiku alusel.

Tabel 4b. *In situ*, healoomuliste ja ebaselge või teadmata loomusega kasvajate* esmasjuhtude arv ning tavaline ja vanusestandarditud haigestumuskordaja paikmeti Eestis 2020, naised

Paige	RHK-10	Esmasjuhtude arv	Haigestumuskordaja 100 000 inimese kohta	
			Tavaline	Standarditud**
Kasvajad <i>in situ</i>	D00–D09	221	31,6	15,6
Emakakael	D06	10	1,4	1,4
Peaaju ja kesknärvisüsteemi healoomulised ja ebaselge või teadmata loomusega kasvajad	D32, D33, D42, D43	75	10,7	5,8
Ajukelmed	D32, D42	57	8,1	3,8
Peaaju ja kesknärvisüsteem	D33, D43	18	2,6	2,0
Peaaju piirkonnas paiknevate siseseretsiooninäärmete healoomulised ja ebaselge või teadmata loomusega kasvajad	D35.2–D35.4, D44.3–D44.5	5	0,7	0,5

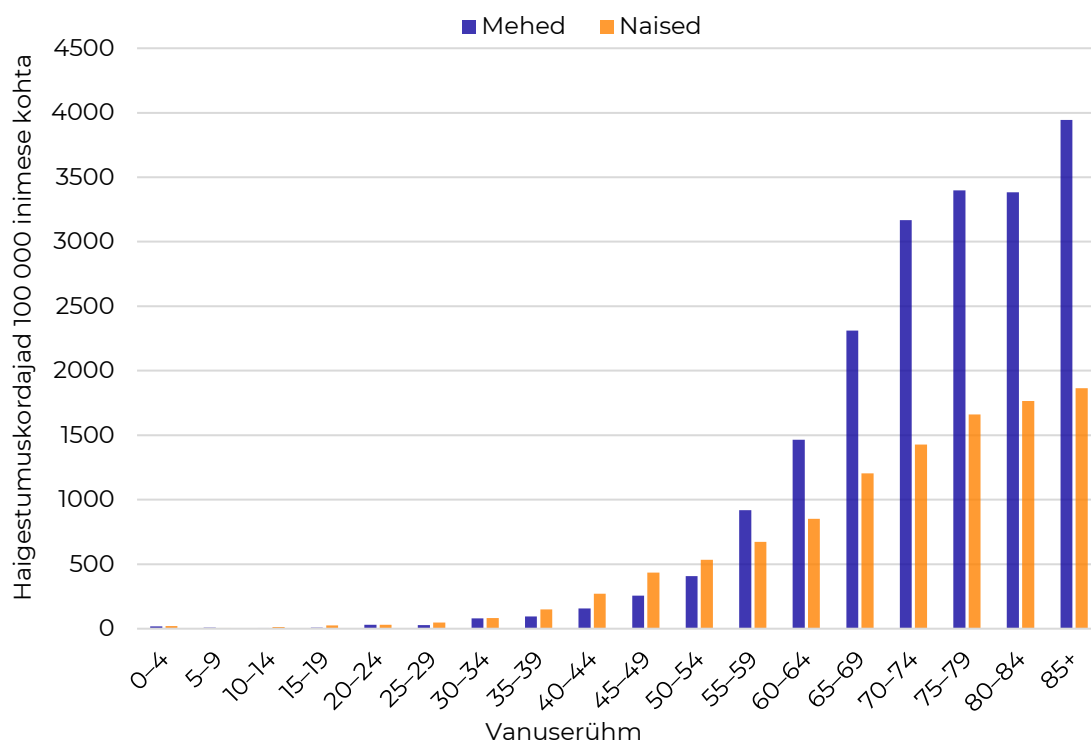
* Vähiregistrisse teatamisele kuuluvad kasvajad.

** Vanusestandarditud maailma standardrahvastiku alusel.

3 Haigestumus vanuseti

2020. aasta haigestumuskordajad 100 000 inimese kohta meeste ja naiste hulgas erinevates vanuserühmades on toodud joonisel 2.

Pahaloomuliste kasvajate esmasjuhtude absoluutarvu suurenemine on eeskätt seotud rahvastiku vananemisega: rohkem kui kolmandik vähi esmasjuhtudest diagnoositi üle 75aastastel. Kui nooremate, kuni 54aasta vanuste naiste seas olid haigestumuskordajad veidi suuremad kui meestel, siis alates 55. eluaastast ületab meeste haigestumuskordaja märgatavalt naiste oma. Lastel ja noortel esineb kasvajaid harva – 2020. aastal diagnoositi 0–14aastastel lastel 26 ning 15–34aastastel noortel 142 pahaloomulise kasvaja esmasjuhtu.



Joonis 2. Vähihaigestumus soo kaupa vanuserühmiti 2020. aastal

Tabelitest 5a ja 5b on näha, et vanuserühmades domineerivad erinevad vähipaikmed.

Lastel vanuses 0–14 diagnoositi nii poiste kui tüdrukute seas kõige rohkem leukeemiat. Teisel kohal olid tüdrukutel peaaegu ja KNS pahaloomulised kasvajad ning neeru- ja neeruvaagna kasvajad, poistel aga diagnoositi erinevaid kasvajaid üksikutel kordadel.

15–34aastastel meestel diagnoositi 2020. aastal kõige sagedamini Hodgkini lümfoomi, munandivähki, naha mittemelanoomi ja peaaegu kasvajaid, naistel naha mittemelanoomi, rinnavähki, emakakaelavähki ja nahamelanoomi.

35–54aastastel meestel diagnoositi kõige rohkem naha mittemelanoomi, eesnäärmevähki, kopsuvähki ning huule-, suuõõne- ja neeluvähki. Naistel olid esikohal rinnavähk, naha mittemelanoom, emakakehavähk ja nahamelanoom.

55–74aastaste meeste ja naiste hulgas domineerisid samad vähipaikmed mis üldrahvastikus: meestel eesnäärme- ja kopsuvähk, naha mittemelanoom ning käärsoolevähk; naistel rinnavähk, naha mittemelanoom, käärsoole-, emakakeha- ja kopsuvähk.

Ka üle 75aastastel meestel diagnoositi kõige sagedamini eesnäärmevähki ja naha mittemelanoomi, mõnevõrra vähem kopsuvähki. Samas vanuses naistel oli esikohal naha mittemelanoom, millele järgnesid rinnavähk ja käärsoolevähk.

Tabel 5a. Kaheksa sagedama vähipaikme esmasjuhud vanuserühmiti Eestis 2020, mehed

Vanuserühm ja paige	RHK-10	Esmasjuhud	
		Arv	%
Vanuserühm 0-14			
Leukeemia	C91-C95	4	33,3
Käärsool	C18	1	8,3
Maks	C22	1	8,3
Mesoteelkude ja pehmed koed	C45-C49	1	8,3
Neer, neeruvaagen	C64-C65	1	8,3
Peaju ja kesknärvisüsteem	C70-C72	1	8,3
Hodgkini lümfoom	C81	1	8,3
Kilpnääre	C73	1	8,3
Krooniline müeloidne leukeemia	C92.1	1	8,3
Kõik paikmed	C00-C97	12	100
Vanuserühm 15-34			
Hodgkini lümfoom	C81	15	22,4
Munand	C62	12	17,9
Nahk (mittemelanoom)	C44	9	13,4
Peaju	C71	5	7,5
Nahk (melanoom)	C43	4	6,0
Mitte-Hodgkini lümfoom	C82-C85, C96	4	6,0
Leukeemia	C91-C95	4	6,0
Huul, suuõõs, neel	C00-C14	3	4,5
Kõik paikmed	C00-C97	67	100
Vanuserühm 35-54			
Nahk (mittemelanoom)	C44	65	15,9
Eesnääre	C61	49	12,0
Hingetoru, bronh, kops	C33-C34	27	6,6
Huul, suuõõs, neel	C00-C14	27	6,6
Mitte-Hodgkini lümfoom	C82-C85, C96	22	5,4
Magu	C16	21	5,1
Nahk (melanoom)	C43	20	4,9
Pärasool jm	C19-C21	19	4,6
Kõik paikmed	C00-C97	410	100
Vanuserühm 55-74			
Eesnääre	C61	748	30,3
Hingetoru, bronh, kops	C33-C34	390	15,8
Nahk (mittemelanoom)	C44	181	7,3
Käärsool	C18	141	5,7
Pärasool jm	C19-C21	118	4,8
Magu	C16	112	4,5
Neer, neeruvaagen	C64-C65	95	3,8
Huul, suuõõs, neel	C00-C14	95	3,8
Kõik paikmed	C00-C97	2472	100

* Vanuserühmas 0-14 on näidatud kõik paikmed, teistes rühmades kaheksa sagedamat paiget.

Tabel 5a. (järg)

Vanuserühm ja paige	RHK-10	Esmasjuhud	
		Arv	%
Vanuserühm ≥75			
Eesnääre	C61	252	19,8
Nahk (mittemelanoom)	C44	212	16,6
Hingetoru, bronh, kops	C33–C34	176	13,8
Käärsool	C18	109	8,5
Kusepõis	C67	77	6,0
Pärasool jm	C19–C21	72	5,6
Magu	C16	63	4,9
Neer, neeruvaagen	C64–C65	38	3,0
Kõik paikmed	C00–C97	1275	100

Tabel 5b. Kaheksa sagedama vähipaikme esmasjuhud vanuserühmiti Eestis 2020, naised

Vanuserühm ja paige	RHK-10	Esmasjuhud	
		Arv	%
Vanuserühm 0–14			
Leukeemia	C91–C95	3	21,4
Neer, neeruvaagen	C64–C65	2	14,3
Peaaju ja kesknärvisüsteem	C70–C72	2	14,3
Käärsool	C18	1	7,1
Luu, liigeseköhr	C40–C41	1	7,1
Mesoteelkude ja pehmed koed	C45–C49	1	7,1
Munasari	C56	1	7,1
Silm	C69	1	7,1
Kilpnääre	C73	1	7,1
Hodgkini lümfoom	C81	1	7,1
Kõik paikmed	C00–C97	14	100
Vanuserühm 15–34			
Nahk (mittemelanoom)	C44	11	14,7
Rind	C50	10	13,3
Emakakael	C53	10	13,3
Nahk (melanoom)	C43	7	9,3
Käärsool	C18	5	6,7
Hodgkini lümfoom	C81	5	6,7
Kilpnääre	C73	5	6,7
Leukeemia	C91–C95	4	5,3
Kõik paikmed	C00–C97	75	100
Vanuserühm 35–54			
Rind	C50	217	35,3
Nahk (mittemelanoom)	C44	105	17,1
Emakakeha	C54	37	6,0
Nahk (melanoom)	C43	32	5,2
Emakakael	C53	27	4,4
Munasari	C56	26	4,2
Pärasool jm	C19–C21	18	2,9
Neer, neeruvaagen	C64–C65	17	2,8
Kõik paikmed	C00–C97	615	100
Vanuserühm 55–74			
Rind	C50	378	20,7
Nahk (mittemelanoom)	C44	277	15,1
Käärsool	C18	146	8,0
Emakakeha	C54	142	7,8
Hingetoru, bronh, kops	C33–C34	111	6,1
Pärasool jm	C19–C21	79	4,3
Magu	C16	71	3,9
Munasari	C56	69	3,8
Kõik paikmed	C00–C97	1830	100

* Vanuserühmas 0–14 on näidatud kõik paikmed, teistes rühmades kaheksa sagedamat paiget.

Tabel 5b. (järg)

Vanuserühm ja paige	RHK-10	Esmasjuhud	
		Arv	%
Vanuserühm ≥75			
Nahk (mittemelanoom)	C44	354	22,5
Rind	C50	179	11,4
Käärsool	C18	167	10,6
Hingetoru, bronh, kops	C33–C34	97	6,2
Köhunääre	C25	89	5,7
Emakakeha	C54	72	4,6
Magu	C16	70	4,5
Neer, neeruvaagen	C64–C65	57	3,6
Kõik paikmed	C00–C97	1572	100

4 Täpseim diagnoosi kinnitanud uurimismeetod

Esmasjuhtude jaotus vähipaikme ning täpseima diagnoosi kinnitanud uurimismeetodi järgi 2020. aastal meestel ja naistel on toodud tabelites 6a ja 6b. Täpseim diagnoosi kinnitanud uurimismeetod on oluline näitaja, mis iseloomustab nii vähidiagnoosi täpsust kui ka vähiregistri andmekvaliteeti.

Mikroskoopilise kinnitusega juhtude ehk histoloogilise, tsütoloogilise või hematoloogilise uuringu põhjal kinnitunud juhtude protsent näitab eelkõige kasvaja diagnoosi ja diagnoosimise täpsust, kuid mõnevõrra ka vähiregistri andmete kvaliteeti. See väärtus varieerub vähipaikmeti ja sõltub eelkõige diagnoosimise võimalustest. 2020. aastal kinnitus pahaloomulise kasvaja diagnoos mikroskoopilise uuringu põhjal 90% patsientidel, mis peegeldab diagnoosimise head taset [7].

Lisaks mikroskoopilise kinnituse protsendile on teiseks oluliseks vähiregistrile esitatud andmete kvaliteedi näitajaks vähijuhtude hulk, mis on registreeritud ainult inimese surmatunnistuse alusel. Need on juhud, mille puhul on vähiregistris olemas teave ainult surmateatisel mainitud vähidiagnoosi kohta, sest vähiregistril ei õnnestunud tagasipäringute teel eluajal diagnoositud vähijuhtu kohta tervishoiuasutusest teavet saada. Selliste juhtude suur hulk viitab puudulikule vähijuhtudest teatamisele, aga ka vähiregistri tagasipäringute ebaõnnestumisele [7]. Eestis on ainult surmatunnistuse alusel registreeritud juhtude osakaal üsna väike – 2020. aastal oli see 2% kõigist vähijuhtudest. Võrreldes teiste vähipaikmetega registreeriti ainult surmatunnistuse alusel sagedamini kopsu- ja kõhunäärmevähki, umbes 4,4%-l juhtudest.

Tabel 6a. Esmasjuhtude jaotus vähipaikme ja täpseima diagnoosi kinnitanud uurimismeetodi järgi Eestis 2020, mehed (n, %)

Paige	RHK-10	Juhtude arv	Mikroskoopiline kinnitus (%)*	Ilma mikroskoopilise kinnitusega (%)**	Ainult surmatunnistuse alusel (%)***
Kõik paikmed	C00–C97	4236	89,5	8,2	2,3
Kõik paikmed, v.a nahk (mittemelanoom)	C00–C97, v.a C44	3769	88,5	9,0	2,5
Huul, suuõõs, neel	C00–C14	139	90,6	7,9	1,4
Huul	C00	6	83,3	16,7	—
Keel	C01–C02	25	96,0	4,0	—
Ige, suupõhi jm	C03–C06	29	96,6	3,4	—
Suured süljenäärmed	C07–C08	14	85,7	14,3	—
Mandel, suuneel	C09–C10	32	90,6	6,3	3,1
Ninaneel	C11	4	100	—	—
Pirnsopis, alaneel	C12–C13	26	84,6	11,5	3,8
Huul, suuõõs, neel (muu)	C14	3	66,7	33,3	—
Seedeelundid	C15–C26	987	84,9	13,2	1,9
Söögitoru	C15	62	95,2	4,8	—
Magu	C16	197	89,3	8,6	2,0
Peensool	C17	11	90,9	9,1	—
Käärsool	C18	270	89,6	8,1	2,2
Pärasool jm	C19–C21	210	92,9	5,7	1,4
Maks jm	C22	98	74,5	25,5	—
Sapipõis jm	C23–C24	18	61,1	38,9	—
Kõhunääre	C25	115	60,9	34,8	4,3
Seedeelundid (muu)	C26	6	33,3	50,0	16,7

* Histoloogiline uuring, k.a lahang histoloogilise uuringuga, tsütoloogiline või hematoloogiline uuring.

** Kliiniline, instrumentaalne kliiniline, biokeemiline või immunoloogiline uuring, operatsioon või lahang ilma histoloogilise uuringuta.

*** Vähiregistri ainus teave esmasjuhu kohta pärineb surma põhjuste registrist.

Tabel 6a. (järg)

Paige	RHK-10	Juhtude arv	Mikroskoopiline kinnitus (%)*	Ilma mikroskoopilise kinnitusega (%)**	Ainult surmatunnistuse alusel (%)***
Hingamis-, rindkeresisesed elundid	C30–C39	651	80,6	15,2	4,1
Ninaõõs, kõrv, ninakõrvalurked	C30–C31	6	100	—	—
Kõri	C32	47	85,1	12,8	2,1
Hingetoru, bronh, kops	C33–C34	593	79,9	15,7	4,4
Tüümus, süda, keskseinand, pleura	C37–C38	5	100	—	—
Hingamiselundid jm	C39	—	—	—	—
Luu, liigeskõhr	C40–C41	6	66,7	33,3	—
Nahk (melanoom)	C43	85	98,8	1,2	—
Nahk (mittemelanoom)	C44	467	97,9	1,7	0,4
Mesoteelkude ja pehmed koed	C45–C49	32	87,5	9,4	3,1
Rind	C50	6	100	—	—
Meessuguelundid	C60–C63	1093	96,4	2,2	1,4
Suguti	C60	10	100	—	—
Eesnääre	C61	1049	96,3	2,3	1,4
Munand	C62	33	100	—	—
Meessuguelundid (muu)	C63	1	100	—	—
Kuseelundid	C64–C68	333	90,4	5,4	4,2
Neer, neeruvaagen	C64–C65	154	89,0	7,1	3,9
Kusejuha	C66	4	100	—	—
Kusepõis	C67	171	91,8	4,1	4,1
Kuseelundid (muu)	C68	4	75,0	—	25,0

* Histoloogiline uuring, ka lahang histoloogilise uuringuga, tsütoloogiline või hematoloogiline uuring.

** Kliiniline, instrumentaalne kliiniline, biokeemiline või immunoloogiline uuring, operatsioon või lahang ilma histoloogilise uuringuta.

*** Vähiregistri ainus teave esmasjuhu kohta pärineb surma põhjuste registrist.

Tabel 6a. (järg)

Paige	RHK-10	Juhtude arv	Mikroskoopiline kinnitus (%)*	Ilma mikroskoopilise kinnitusega (%)**	Ainult surmatunnistuse alusel (%)***
Silm	C69	12	8,3	91,7	—
Peaaju ja kesknärvisüsteem	C70–C72	52	71,2	26,9	1,9
Ajukelmed	C70	1	100	—	—
Peaaju	C71	50	72,0	26,0	2,0
Kesknärvisüsteem (muu)	C72	1	—	100	—
Kilpnääre	C73	26	100	—	—
Sisesekretsiooninäärmed (muu)	C74–C75	4	100	—	—
Paige teadmata või täpsustamata	C76–C80	60	46,7	45,0	8,3
Hodgkini lümfoom	C81	19	100	—	—
Mitte-Hodgkini lümfoom	C82–C85/96	103	97,1	1,0	1,9
Immunoproliferatiivhaigused	C88	2	100	—	—
Hulgimüeloom	C90	44	97,7	—	2,3
Leukeemia	C91–C95	115	93,9	—	6,1
Sõltumatud hulgipaikmed	C97	0	—	—	—

* Histoloogiline uuring, k.a lahang histoloogilise uuringuga, tsütoloogiline või hematoloogiline uuring.

** Kliiniline, instrumentaalne kliiniline, biokeemiline või immunoloogiline uuring, operatsioon või lahang ilma histoloogilise uuringuta.

*** Vähiregistri ainus teave esmasjuhu kohta pärineb surma põhjuste registrist.

Tabel 6b. Esmasjuhtude jaotus vähipaikme ja täpseima diagnoosi kinnitanud uurimismeetodi järgi Eestis 2020, naised (n, %)

Paige	RHK-10	Juhtude arv	Mikroskoopiline kinnitus (%)*	Ilma mikroskoopilise kinnitusega (%)**	Ainult surmatunnistuse alusel (%)***
Kõik paikmed	C00–C97	4106	90,6	7,8	1,7
Kõik paikmed, v.a nahk (mittemelanoom)	C00–C97, v.a C44	3359	88,7	9,3	2,0
Huul, suuõõs, neel	C00–C14	70	91,4	8,6	—
Huul	C00	4	100	—	—
Keel	C01–C02	9	100	—	—
Ige, suupõhi jm	C03–C06	21	90,5	9,5	—
Suured süljenäärmed	C07–C08	9	88,9	11,1	—
Mandel, suuneel	C09–C10	18	83,3	16,7	—
Ninaneel	C11	1	100	—	—
Pirnsopis, alaneel	C12–C13	5	100	—	—
Huul, suuõõs, neel (muu)	C14	3	100	—	—
Seedeelundid	C15–C26	921	81,8	15,3	2,9
Söögitoru	C15	18	88,9	11,1	—
Magu	C16	153	86,9	12,4	0,7
Peensool	C17	15	100	—	—
Käärsool	C18	333	89,5	8,1	2,4
Pärasool jm	C19–C21	150	91,3	6,7	2,0
Maks jm	C22	54	77,8	16,7	5,6
Sapipõis jm	C23–C24	33	78,8	21,2	—
Kõhunääre	C25	159	51,6	41,5	6,9
Seedeelundid (muu)	C26	6	66,7	16,7	16,7

* Histoloogiline uuring, ka lahang histoloogilise uuringuga, tsütoloogiline või hematoloogiline uuring.

** Kliiniline, instrumentaalne kliiniline, biokeemiline või immunoloogiline uuring, operatsioon või lahang ilma histoloogilise uuringuta.

*** Vähiregistri ainus teave esmasjuhu kohta pärineb surma põhjuste registrist.

Tabel 6b. (järg)

Paige	RHK-10	Juhtude arv	Mikroskoopiline kinnitus (%)*	Ilma mikroskoopilise kinnitusega (%)**	Ainult surmatunnistuse alusel (%)***
Hingamis-, rindkeresisesed elundid	C30–C39	234	79,9	17,5	2,6
Ninaõõs, kõrv, ninakõrvalurked	C30–C31	2	100	—	—
Kõri	C32	5	100	—	—
Hingetoru, bronh, kops	C33–C34	225	79,1	18,2	2,7
Tüümus, süda, keskseinand, pleura	C37–C38	2	100	—	—
Hingamiselundid jm	C39	—	—	—	—
Luu, liigeskõhr	C40–C41	6	83,3	16,7	—
Nahk (melanoom)	C43	108	100	—	—
Nahk (mittemelanoom)	C44	747	98,8	1,1	0,1
Mesoteelkude ja pehmed koed	C45–C49	31	96,8	—	3,2
Rind	C50	784	96,0	2,9	1,0
Naissuguelundid	C51–C58	573	94,4	4,4	1,2
Häbe, tupp	C51–C52	44	93,2	4,5	2,3
Emakakael	C53	115	94,8	4,3	0,9
Emakakeha	C54	251	96,4	3,2	0,4
Emakas (osa täpsustamata)	C55	2	50,0	—	50,0
Munasari	C56	147	91,8	6,8	1,4
Naissuguelundid (muu)	C57	14	92,9	—	7,1
Platsenta	C58	—	—	—	—

* Histoloogiline uuring, k.a lahang histoloogilise uuringuga, tsütoloogiline või hematoloogiline uuring.

** Kliiniline, instrumentaalne kliiniline, biokeemiline või immunoloogiline uuring, operatsioon või lahang ilma histoloogilise uuringuta.

*** Vähiregistri ainus teave esmasjuhu kohta pärineb surma põhjuste registrist.

Tabel 6b. (järg)

Paige	RHK-10	Juhtude arv	Mikroskoopiline kinnitus (%)*	Ilma mikroskoopilise kinnitusega (%)**	Ainult surmatunnistuse alusel (%)***
Kuseelundid	C64–C68	197	86,3	12,2	1,5
Neer, neeruvaagen	C64–C65	144	86,1	12,5	1,4
Kusejuha	C66	5	100	—	—
Kusepõis	C67	48	85,4	12,5	2,1
Kuseelundid (muu)	C68	—	—	—	—
Silm	C69	12	41,7	58,3	—
Peaaju ja kesknärvisüsteem	C70–C72	33	69,7	24,2	6,1
Ajukelmed	C70	1	100	—	—
Peaaju	C71	32	68,8	25,0	6,3
Kesknärvisüsteem (muu)	C72	—	—	—	—
Kilpnääre	C73	57	98,2	1,8	—
Sisesekretsiooninäärmed (muu)	C74–C75	6	83,3	16,7	—
Paige teadmata või täpsustamata	C76–C80	59	32,2	54,2	13,6
Hodgkini lümfoom	C81	19	100	—	—
Mitte-Hodgkini lümfoom	C82–C85/96	98	96,9	1,0	2,0
Immunoproliferatiivhaigused	C88	6	100	—	—
Hulgimüeloom	C90	48	100	—	—
Leukeemia	C91–C95	97	95,9	—	4,1
Sõltumatud hulgipaikmed	C97	—	—	—	—

* Histoloogiline uuring, ka lahang histoloogilise uuringuga, tsütoloogiline või hematoloogiline uuring.

** Kliiniline, instrumentaalne kliiniline, biokeemiline või immunoloogiline uuring, operatsioon või lahang ilma histoloogilise uuringuta.

*** Vähiregistri ainus teave esmasjuhu kohta pärineb surma põhjuste registrist.

5 Levik diagnoosimisel

5.1 Soliidkasvajate levik

Soliidkasvajate leviku määratlemisel eristatakse, kas kasvaja on lokaalne ehk ei ole algkoldest kaugemale levinud; kas kasvaja on lümfiteede kaudu levinud ainult piirkondlikesse lümfisõlmedesse ilma otsese levikuta naaberkudedesse; kas kasvaja on otsese leviku teel kasvanud naaberkudedesse koos või ilma piirkondlike lümfisõlmede haaratuseta ning kas kasvaja on andnud vereringe kaudu siirdeid ehk metastaase teistesse elunditesse.

Vähi teke ja areng inimese organismis on pikaajaline protsess, mistõttu on kasvaja võimalikult varane diagnoosimine prognoosi seisukohalt väga oluline. Paraku jõutakse Eestis diagnoosimiseni sageli alles siis, kui vähk on juba levinud algkoldest kaugemale – 2020. aastal diagnoositi 48% meespatsientidel lokaalne kasvaja, kuid 20% patsientidel oli vähk juba diagnoosimise hetkeks andnud kaugmetastaase. Naissoost patsientidel olid samad näitajad vastavalt 52% ja 15%.

Soliidkasvajate esmasjuhtude jaotus paikme ja leviku järgi diagnoosimisel on leitav tabelites 7a ja 7b.

Ligi pooltel mees- ja naissoost patsientidel oli kõhunäärmevähk andnud diagnoosimise hetkeks kaugmetastaase, meeste seas oli sama olukord ka sapipõievähi puhul. Umbes 40% maksavähi diagnoosi saanud naispatsientidel ning kopsu-, söögitoru-, mao- ja maksavähi diagnoosi saanud meespatsientidel leiti diagnoosimise hetkel kaugmetastaasid. Naiste hulgas kerkisid esile veel kopsu- ja munasarjavähk, mille puhul leiti diagnoosimise hetkel kaugmetastaasid vastavalt kolmandikul ja veerandil patsientidest.

Tabel 7a. Esmasjuhtude jaotus vähipaikme ja leviku järgi diagnoosimisel Eestis 2020, mehed (n, %)

Paige	RHK-10	Juhtude arv	Lokaalne (%)	Piirkondlike lümfisõlmede haaratus (%)	Naaberelundite haaratus (%)	Kaug-metastaasid (%)	Täpsustamata (%)
Kõik soliidkasvajad	C00–C80	3953	47,5	8,3	13,4	20,4	10,4
Kõik soliidkasvajad, v.a. nahk (mittemelanoom)	C00–C80, v.a C44	3486	41,2	9,4	15,1	23,1	11,2
Huul, suuõõs, neel	C00–C14	139	25,2	28,1	28,8	7,9	10,1
Huul	C00	6	66,7	16,7	—	—	16,7
Keel	C01–C02	25	40,0	32,0	16,0	12,0	—
Ige, suupõhi jm	C03–C06	29	31,0	13,8	34,5	6,9	13,8
Suured süljenäärmed	C07–C08	14	35,7	—	50,0	—	14,3
Mandel, suuneel	C09–C10	32	12,5	43,8	31,3	6,3	6,3
Ninaneel	C11	4	—	25,0	50,0	25,0	—
Pirnsopis, alaneel	C12–C13	26	11,5	42,3	19,2	11,5	15,4
Huul, suuõõs, neel (muu)	C14	3	—	—	66,7	—	33,3
Seedeelundid	C15–C26	987	25,9	17,0	10,3	32,6	14,1
Söögitoru	C15	62	8,1	14,5	16,1	43,5	17,7
Magu	C16	197	17,3	17,3	9,6	39,6	16,2
Peensool	C17	11	27,3	—	45,5	18,2	9,1
Käärsool	C18	270	37,8	16,7	10,7	24,8	10,0
Pärasool jm	C19–C21	210	29,0	31,0	9,5	18,1	12,4
Maks jm	C22	98	28,6	7,1	10,2	38,8	15,3
Sapipõis jm	C23–C24	18	22,2	5,6	5,6	50,0	16,7
Kõhunääre	C25	115	16,5	6,1	7,0	53,0	17,4
Seedeelundid (muu)	C26	6	—	—	—	33,3	66,7

Tabel 7a. (järg)

Paige	RHK-10	Juhtude arv	Lokaalne (%)	Piirkondlike lümfisõlmede haaratus (%)	Naaberelundite haaratus (%)	Kaug-metastaasid (%)	Täpsustamata (%)
Hingamis-, rindkeresisesed elundid	C30–C39	651	24,0	11,5	14,3	37,2	13,1
Ninaõõs, kõrv, ninakõrvalurked	C30–C31	6	—	—	100	—	—
Kõri	C32	47	59,6	8,5	21,3	—	10,6
Hingetoru, bronh, kops	C33–C34	593	21,1	12,0	12,8	40,6	13,5
Tüümus, süda, keskseinand, pleura	C37–C38	5	60,0	—	20,0	20,0	—
Hingamiselundid jm	C39	—	—	—	—	—	—
Luu, liigeskõhr	C40–C41	6	50,0	—	16,7	16,7	16,7
Nahk (melanoom)	C43	85	60,0	10,6	12,9	8,2	8,2
Nahk (mittemelanoom)	C44	467	94,2	0,6	0,6	—	4,5
Mesoteelkude ja pehmed koed	C45–C49	32	43,8	—	15,6	15,6	25,0
Rind	C50	6	16,7	50,0	16,7	—	16,7
Meessuguelundid	C60–C63	1093	59,7	1,6	19,8	12,0	7,0
Suguti	C60	10	60,0	—	10,0	20,0	10,0
Eesnääre	C61	1049	60,0	1,3	20,4	11,2	7,1
Munand	C62	33	51,5	9,1	3,0	33,3	3,0
Meessuguelundid (muu)	C63	1	100	—	—	—	—
Kuseelundid	C64–C68	333	56,5	2,1	16,8	14,7	9,9
Neer, neeruvaagen	C64–C65	154	54,5	1,3	16,2	20,1	7,8
Kusejuha	C66	4	75,0	25,0	—	—	—
Kusepõis	C67	171	58,5	2,3	18,1	9,4	11,7
Kuseelundid (muu)	C68	4	25,0	—	—	50,0	25,0
Silm	C69	12	83,3	—	—	—	16,7

Tabel 7a. (järg)

Paige	RHK-10	Juhtude arv	Lokaalne (%)	Piirkondlike lümfisõlmede haaratus (%)	Naaberelundite haaratus (%)	Kaug-metastaasid (%)	Täpsustamata (%)
Peaaju ja kesknärvisüsteem	C70–C72	52	94,2	—	—	—	5,8
Ajukelmed	C70	1	100	—	—	—	—
Peaaju	C71	50	94,0	—	—	—	6,0
Kesknärvisüsteem (muu)	C72	1	100	—	—	—	—
Kilpnääre	C73	26	73,1	15,4	3,8	7,7	—
Sisesekretsiooninäärmed (muu)	C74–C75	4	50,0	—	—	25,0	25,0
Paige teadmata või täpsustamata	C76–C80	60	—	6,7	—	58,3	35,0

Tabel 7b. Esmasjuhtude jaotus vähipaikme ja leviku järgi diagnoosimisel Eestis 2020, naised (n, %)

Paige	RHK-10	Juhtude arv	Lokaalne (%)	Piirkondlike lümfisõlmede haaratus (%)	Naaberelundite haaratus (%)	Kaug-metastaasid (%)	Täpsustamata (%)
Kõik soliidkasvajad	C00–C80	3838	51,8	13,2	9,7	14,6	10,8
Kõik soliidkasvajad, v.a nahk (mittemelanoom)	C00–C80, v.a C44	3091	41,0	16,3	11,9	18,1	12,7
Huul, suuõõs, neel	C00–C14	70	35,7	28,6	17,1	7,1	11,4
Huul	C00	4	75,0	—	—	—	25,0
Keel	C01–C02	9	55,6	44,4	—	—	—
Ige, suupõhi jm	C03–C06	21	33,3	19,0	38,1	4,8	4,8
Suured süljenäärmed	C07–C08	9	44,4	22,2	11,1	22,2	—
Mandel, suuneel	C09–C10	18	22,2	44,4	5,6	11,1	16,7
Ninaneel	C11	1	—	100	—	—	—
Pirnsopis, alaneel	C12–C13	5	40,0	20,0	40,0	—	—
Huul, suuõõs, neel (muu)	C14	3	—	—	—	—	100
Seedeelundid	C15–C26	921	28,4	16,4	11,6	29,2	14,3
Söögitoru	C15	18	22,2	27,8	16,7	22,2	11,1
Magu	C16	153	22,9	16,3	11,8	26,8	22,2
Peensool	C17	15	26,7	20,0	20,0	33,3	—
Käärsool	C18	333	39,6	15,3	10,8	24,3	9,9
Pärasool jm	C19–C21	150	28,0	31,3	13,3	16,0	11,3
Maks jm	C22	54	33,3	3,7	7,4	40,7	14,8
Sapipõis jm	C23–C24	33	24,2	3,0	21,2	36,4	15,2
Kõhunääre	C25	159	11,9	10,7	10,1	48,4	18,9
Seedeelundid (muu)	C26	6	—	—	—	50,0	50,0

Tabel 7b. (järg)

Paige	RHK-10	Juhtude arv	Lokaalne (%)	Piirkondlike lümfisõlmede haaratus (%)	Naaberelundite haaratus (%)	Kaug-metastaasid (%)	Täpsustamata (%)
Hingamis-, rindkeresisesed elundid	C30–C39	234	32,9	11,1	11,5	31,6	12,8
Ninaõõs, kõrv, ninakõrvalurked	C30–C31	2	50,0	—	50,0	—	—
Kõri	C32	5	40,0	20,0	20,0	20,0	—
Hingetoru, bronh, kops	C33–C34	225	32,9	11,1	10,7	32,0	13,3
Tüümus, süda, keskseinand, pleura	C37–C38	2	—	—	50,0	50,0	—
Hingamiselundid jm	C39	—	—	—	—	—	—
Luu, liigeskõhr	C40–C41	6	—	—	—	33,3	66,7
Nahk (melanoom)	C43	108	74,1	6,5	7,4	4,6	7,4
Nahk (mittemelanoom)	C44	747	96,4	0,3	0,4	—	2,9
Mesoteelkude ja pehmed koed	C45–C49	31	48,4	3,2	9,7	19,4	19,4
Rind	C50	784	45,3	33,7	1,9	6,5	12,6
Naissuguelundid	C51–C58	573	48,2	3,8	27,6	12,0	8,4
Häbe, tupp	C51–C52	44	40,9	25,0	9,1	11,4	13,6
Emakakael	C53	115	31,3	0,9	50,4	9,6	7,8
Emakakeha	C54	251	75,3	4,0	8,0	5,6	7,2
Emakas (osa täpsustamata)	C55	2	—	—	—	50,0	50,0
Munasari	C56	147	21,1	—	46,3	24,5	8,2
Naissuguelundid (muu)	C57	14	14,3	—	57,1	14,3	14,3
Platsenta	C58	—	—	—	—	—	—

Tabel 7b. (järg)

Paige	RHK-10	Juhtude arv	Lokaalne (%)	Piirkondlike lümfisõlmede haaratus (%)	Naaberelundite haaratus (%)	Kaug-metastaasid (%)	Täpsustamata (%)
Kuseelundid	C64–C68	197	51,8	2,0	16,8	18,8	10,7
Neer, neeruvaagen	C64–C65	144	50,0	1,4	16,7	22,9	9,0
Kusejuha	C66	5	80,0	—	—	—	20,0
Kusepõis	C67	48	54,2	4,2	18,8	8,3	14,6
Kuseelundid (muu)	C68	—	—	—	—	—	—
Silm	C69	12	75,0	—	—	8,3	16,7
Peaaju ja kesknärvisüsteem	C70–C72	33	87,9	—	—	—	12,1
Ajukelmed	C70	1	100	—	—	—	—
Peaaju	C71	32	87,5	—	—	—	12,5
Kesknärvisüsteem (muu)	C72	—	—	—	—	—	—
Kilpnääre	C73	57	61,4	14,0	8,8	8,8	7,0
Sisesekretsiooninäärmed (muu)	C74–C75	6	50,0	—	16,7	16,7	16,7
Paige teadmata või täpsustamata	C76–C80	59	—	—	—	57,6	42,4

5.2 Valitud paikmete TNMi staadium

Vähi staadiumi määratlemisel on kasutusel TNMi klassifikatsioon, mille järgi on I ja II staadiumi puhul enamasti tegemist lokaalse ja väikesemõõdulise kasvajaga, III staadiumiga kaasneb levik naaberelunditesse või piirkondlikesse lümfisõlmedesse ja IV staadiumi puhul on vähk andnud kaugmetastaase teistesse elunditesse. TNMi väärtused sõltuvad eelkõige vähipaikmest ja mõne paikme puhul ka kasvaja morfoloogiast.

Vähiregister kogub andmeid vähi TNMi ja staadiumi kohta diagnoosimise hetkel enne selle hilisemat progresseerumist või multimodaalse ravi teostamist, mis võib muuta kasvaja suurust või levikut. Alates 2018. aastast on kasutusel TNMi klassifikatsiooni 8. versioon [8]. Joonisel 3 on näha 2020. aastal inimese eluajal diagnoositud esmasjuhtude jaotus staadiumi järgi valitud paikmete kohta.

I staadiumis diagnoositi meestel kõige rohkem neeruvähki ja nahamelanoomi (mõlemat 43% juhtudest), naistel aga 65% emakakehavähi ja 57% nahamelanoomi juhtudest. I staadiumis rinnavähki diagnoositi naistel 31%-l juhtudest (2019. aastal 37%), aga IV staadiumi osakaal on veidi langenud, jäädes 6% ligi.

IV staadiumis diagnoositud käär- ja pärasoolevähi juhtude osakaal näitab vähest langust, jäädes nii meestel kui naistel 22% piiresse.

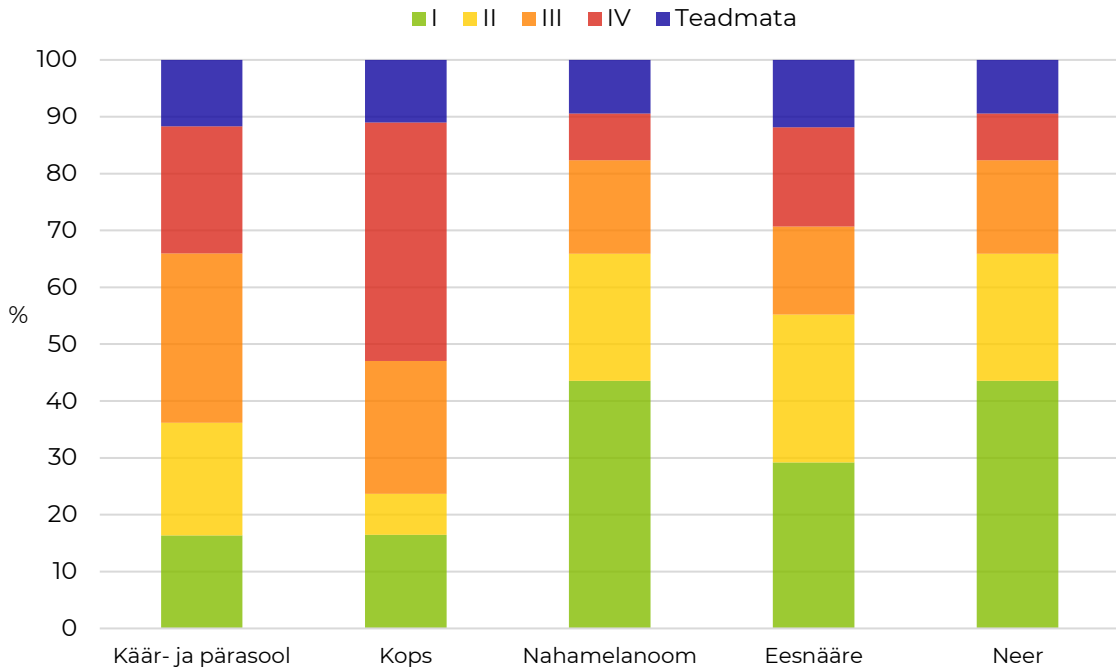
IV staadiumis kopsuvähki diagnoositi meestel üle 42% juhtudest, aga naistel oli see osakaal veidi langenud, jäädes 33% juurde.

IV staadiumis emakakaelavähki diagnoositi 2020. aastal 16% juhtudest, mis näitab aeglast kasvutrendi (2018. aastal 12%, 2019. aastal 15%). I staadiumis diagnoositi kolmandik emakakaelavähi juhtudest.

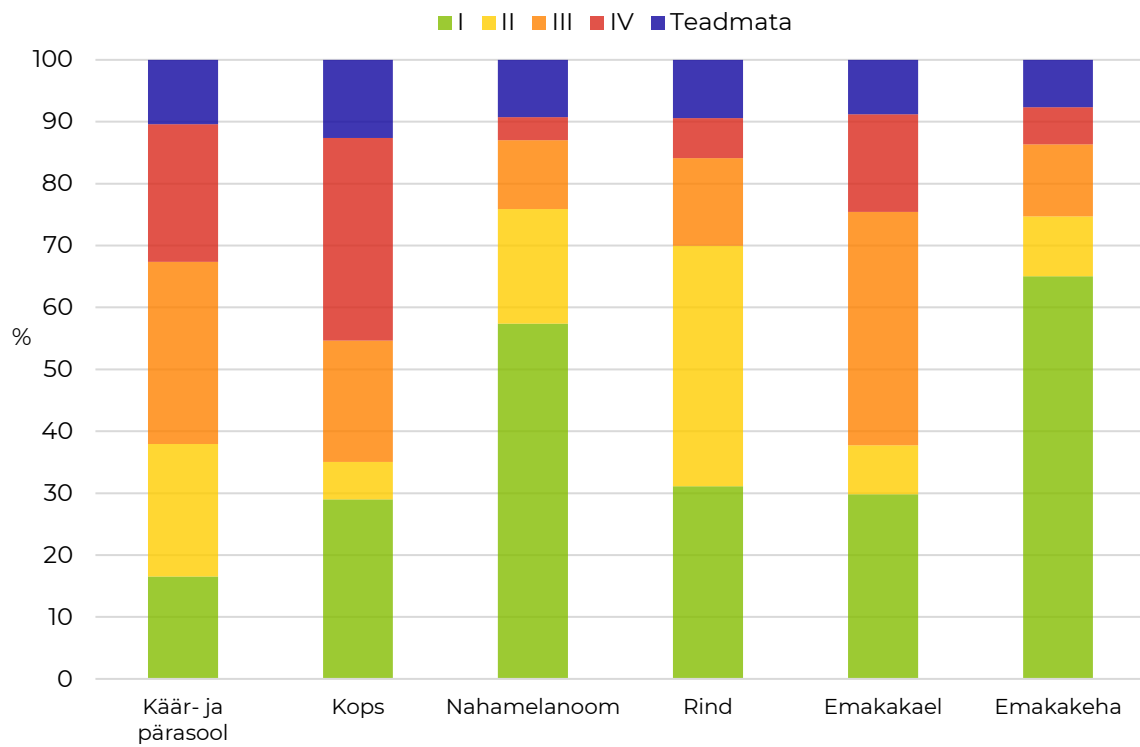
I staadiumis diagnoositud eesnäärmevähi juhtude osakaal jäi 29% piiresse, ent IV staadiumis diagnoositud juhtude osakaal on mõnevõrra kasvanud, olles 17% (2019. aastal 15%).

Uuritud paikmete puhul on 2019. aastaga võrreldes vähesel määral kasvanud teadmata staadiumiga juhtude osakaal, mis oli kõrgeim naiste kopsuvähi (13%) ja meeste eesnäärme- ning käär- ja pärasoolevähi puhul (12%).

Mehed



Naised



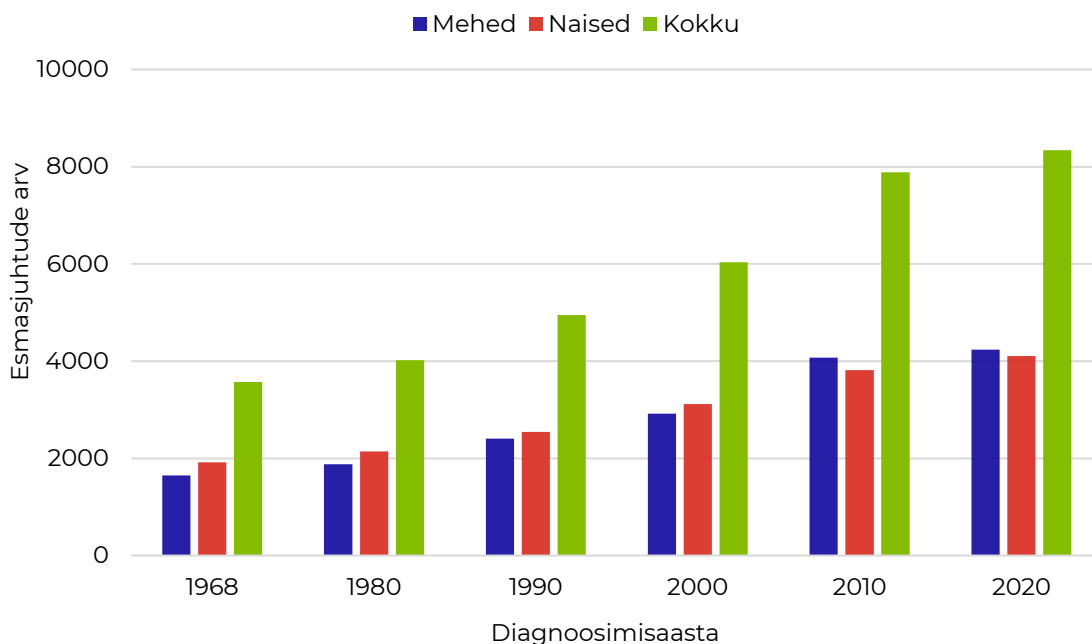
Joonis 3. Eluajal diagnoositud esmasjuhtude jaotus staadiumi järgi 2020. aastal (valitud paikmed)

6 Haigestumustrendid 1968–2020

6.1 Esmasjuhtude arv

Eesti vähihaigestumuse andmed on kättesaadavad juba rohkem kui 50 aasta kohta. Rahvastiku vananemine, eluviisiga seotud kasvajate sagenemine ja aina tõhusamad diagnoosimeetodid on toonud kaasa vähijuhtude arvu pideva kasvamise, ulatudes 2020. aastal ligi 8350 juhuni (joonis 4). Samas väärub märkimist, et kokku registreeriti 2020. aastal ligi 7% võrra vähem vähijuhte kui 2019. aastal, mille peamiseks põhjuseks võib esialgu pidada alanud COVID-19 pandeemiat. Sellest tulenevalt olid alates 2020. aasta kevadest katkestatud sõeluuringud ja piiratud mitmed plaanilised tervishoiuteenused ning tõenäoliselt vähenes nii sõeluuringul, juhuleiuna kui ka kergemate sümptomitega vähijuhtude diagnoosimine. 2020. aastal toimunud languse täpsemaks hindamiseks on vajalik vähiregistri andmete edasine detailne analüüs vähipaikmete, vanuserühmade ja staadiumite lõikes.

2019. aastaga võrreldes vähenes 2020. aastal nahamelanoomi juhtude arv 20%. Rinna- ja jämesoolevähi juhtude arv vähenes ligi 8% ning eesnäärmevähi juhtude arv 7%. Emakakaelavähi juhtude arv vähenes lausa 30%, kuid vajab täpsemat analüüsi, kuivõrd oli nii märkimisväärne vähenemine seotud COVID-19 pandeemiast tingitud diagnoosimata jäämise või sõeluuringust tuleneva haigestumuse vähenemisega.



Joonis 4. Vähi esmasjuhtude arv Eestis 1968–2020 (valitud aastad)

6.2 Valitud paikmete haigestumustrendid

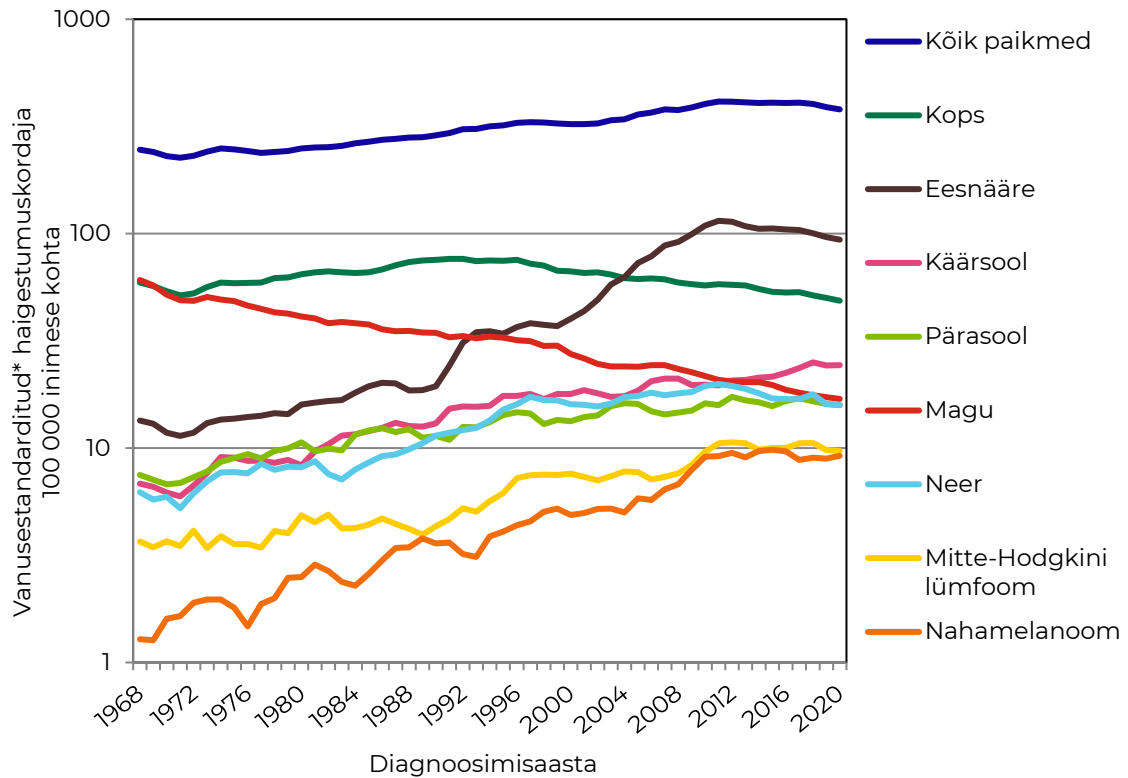
2021. aasta maikuus kinnitatud Eesti vähitõrje tegevuskava 2021–2030 üks eesmärke on ennetustegevuste abil saavutada langustrend vanusestandarditud koguhaigestumuses [9]. Joonisel 5 on toodud vanusestandarditud vähihaigestumuse ajatrendid valitud paikmete kohta aastatel 1968–2020. Koguhaigestumus on viimasel aastakümnel meeste seas hakanud vähenema ja naiste seas stabiliseerunud [10], ent haigestumustrendid varieeruvad paikmeti.

Meeste seas on koguhaigestumuse vähenemist mõjutanud 2012. aastal alanud eesnäärmevähi haigestumuse langus [11], mis jätkus ka 2020. aastal. Samuti on juba alates 1990. aastate lõpust püsivas langustrendis kopsu- ja maovähihaigestumus [12; 13]. Hoolimata juhtude arvu vähenemisest 2020. aastal on käär- ja pärasoolevähi haigestumus pikaajalises vaates märkimisväärselt suurenenud [10]. Nii neeruvähi, nahamelanoomi kui ka mitte-Hodgkini lümfoomi haigestumus on viimasel kümnendil püsinud võrdlemisi stabiilne.

Naiste seas vähenes 2020. aastal nii rinna-, emakakaela- kui ka käär- ja pärasoolevähi haigestumus. Pikemas vaates jätkub siiski nii rinnavähi kui ka jämesoolevähi haigestumuse tõus [10]. Lisaks on viimastel aastatel stabiliseerunud kopsuvähi, nahamelanoomi ja mitte-Hodgkini lümfoomi haigestumus.

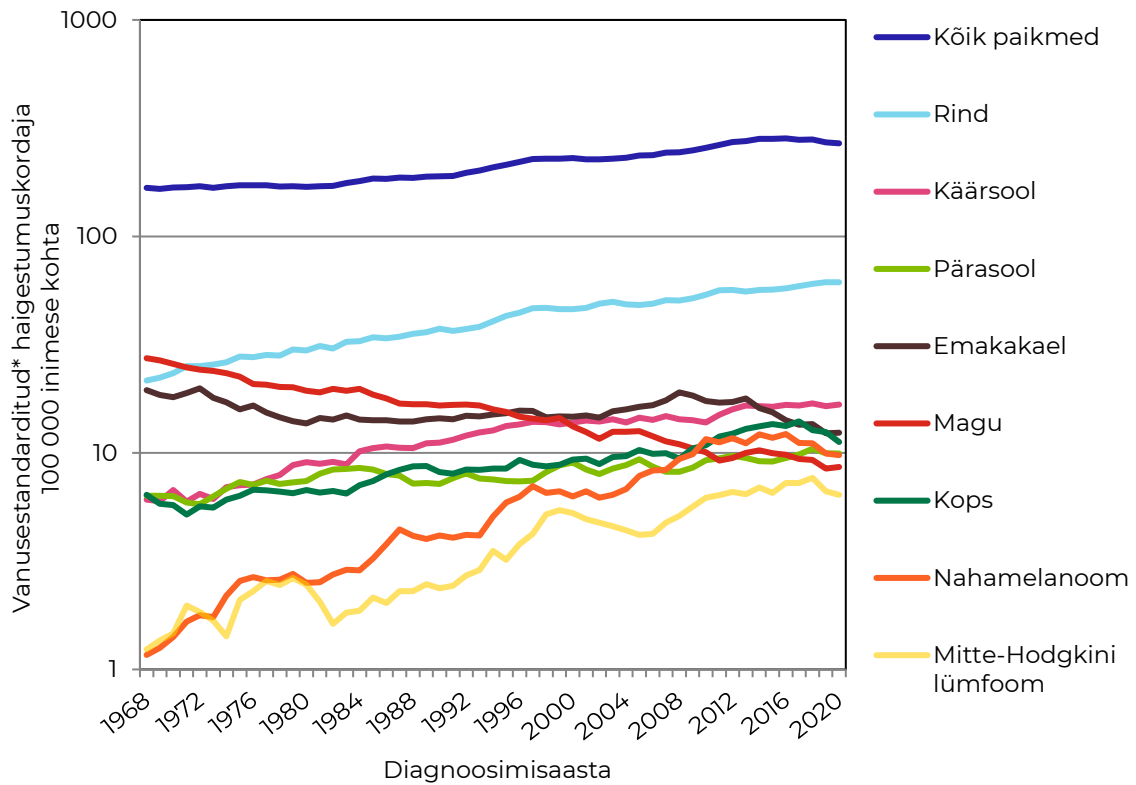
Vähitõrje tegevuskava üks eesmärke on sõeluuringute abil saavutada langustrend nii emakakaela- kui ka jämesoolevähi haigestumuses [9]. 2022. aastal läbi viidud uuring näitas Eestis esmakordselt, et emakakaelavähi vähihaigestumus pöördus alates 2013. aastast langusele ning kahes vanuserühmas ilmnunud haigestumuse olulist vähenemist saab seostada sõeluuringu positiivse mõjuga: 40–49aastastel naistel alates 2009. aastast ja 60–69aastastel naistel alates 2012. aastast [14]. Kuna jämesoolevähi sõeluuringu läbiviimist alustati Eestis alles 2016. aastal, on selle tulemustele hinnangu andmiseks veel vara. Nii rinnavähi, emakakaelavähi kui ka jämesoolevähi sõeluuringute puhul vähenes 2020. aastal sihtrühmade hõlmatus 3–4 % võrra [14].

Mehed



* Vanusestandarditud maailma standardrahvastiku alusel; arvatud kolme aasta libiseva keskmisena.

Naised

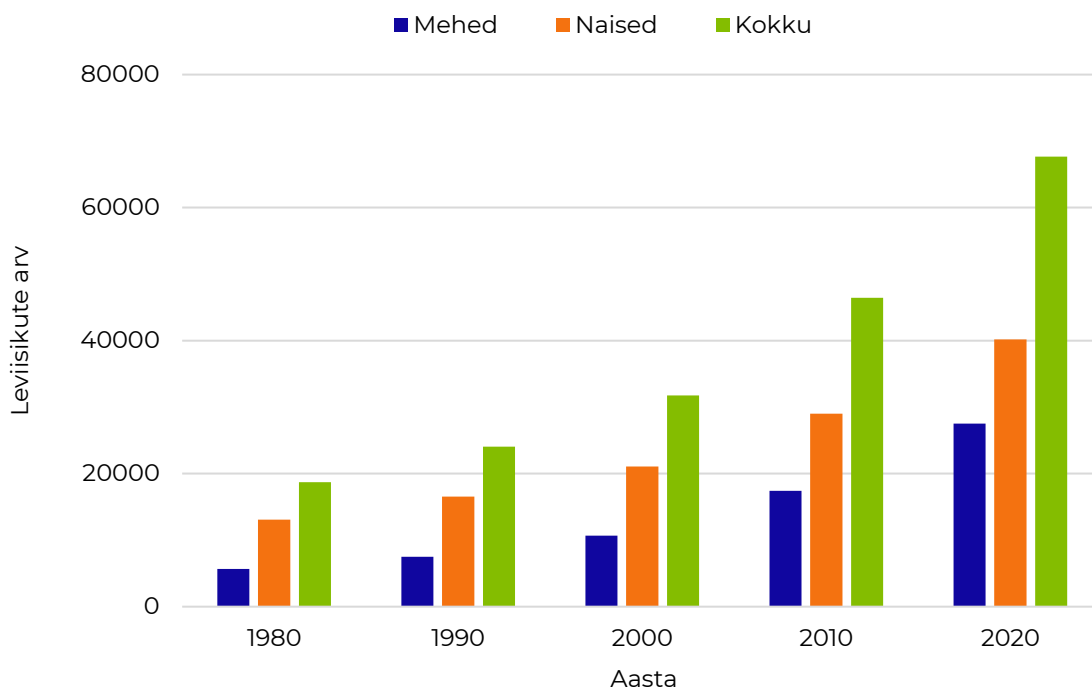


* Vanusestandarditud maailma standardrahvastiku alusel; arvatud kolme aasta libiseva keskmisena.

Joonis 5. Vähihaigestumustrendid Eestis 1968–2020 (valitud paikmed)

7 Levimus

2020. aasta 31. detsembri seisuga elas Eestis 67 683 inimest (27 502 meest ja 40 181 naist), kellel oli kunagi elu jooksul diagnoositud mõni pahaloomuline kasvaja (leviisik). Vähi leviisikute arv on aastate jooksul pidevalt suurenenud (joonis 6), sest haigestumus kasvab ja vähihaigete elulemus paraneb [15].



Joonis 6. Vähi leviisikute arv Eestis 1968–2020 vastava aasta lõpu seisuga

Ühel inimesel võib elu jooksul olla mitu erinevat pahaloomulist kasvajat, mistõttu oli vähi levijuhtude arv märksa suurem – kokku 75 070, neist meestel 31 016 ja naistel 44 054 juhtu. Kui jätta levijuhtude seast välja naha mittemelanoom, siis moodustas eesnäärmevähk 43% kõigist levijuhtudest meestel ja rinnavähk 31% kõigist levijuhtudest naistel. Emakakehavähi levijuhud ulatusid 10%ni, kuid teiste vähipaikmete osakaal levijuhtude hulgas jäi alla 10%. (tabelid 8a ja 8b).

Tabel 8a. Sagedamad vähipaikmed levijuhude seas Eestis 31. detsembril 2020, mehed

Paige	RHK-10	Levijuhud	
		Arv	%
Eesnääre	C61	10856	42,8
Käärsool	C18	1742	6,9
Neer, neeruvaagen	C64–C65	1512	6,0
Hingetoru, bronh, kops	C33–C34	1360	5,4
Pärasool jm	C19–21	1254	4,9
Kusepõis	C67	1196	4,7
Magu	C16	910	3,6
Nahk (melanoom)	C43	909	3,6
Kõik paikmed, v.a nahk (mittemelanoom)	C00–C97, v.a C44	25345	100

Tabel 8b. Sagedamad vähipaikmed levijuhude seas Eestis 31. detsembril 2020, naised

Paige	RHK-10	Levijuhud	
		Arv	%
Rind	C50	10178	30,7
Emakakeha	C54	3303	10,0
Emakakael	C53	2564	7,7
Käärsool	C18	2578	7,8
Nahk (melanoom)	C43	1856	5,6
Pärasool jm	C19–C21	1503	4,5
Neer, neeruvaagen	C64–C65	1445	4,4
Munasari	C56	1309	3,9
Kõik paikmed, v.a nahk (mittemelanoom)	C00–C97, v.a C44	33160	100

8 Elulemus

Vähielulemuse mõõtmine hõlmab nii varase avastamise kui ka ravi tõhususe mõju, võimaldades hinnata vähitõrjemeetmeid tervikuna.

Kõigi Eestis diagnoositud vähijuhtude ühe, viie ja kümne aasta suhteline elulemus perioodil 2016–2020 oli vastavalt 78%, 65% ja 61% (tabel 9). Jättes välja naha mittemelanoomi, oli kõigi paikmete ühe, viie ja kümne aasta suhteline elulemus vastavalt 74%, 58% ja 52%. Lisaks kõigi paikmete elulemusele on tabelis 9 toodud suhtelise elulemuse näitajad vähipaikmeti. Enamiku paikmete puhul on naiste elulemusnäitajad suuremad kui meestel.

Joonisel 7 on näidatud vanusestandarditud viie aasta suhtelise elulemuse muutus perioodide 2010–2014 ja 2016–2020 võrdluses. Enim on elulemus suurenenud leukeemiate (7% võrra), kopsuvähi (5%) ja pärasoolevähi (4%) korral.

Tabelis 10 on näidatud valitud vähipaikmete ühe, viie ja kümne aasta suhteline elulemus leviku järgi diagnoosimisel. Lokaalse leviku puhul ulatus viie ja kümne aasta elulemus eesnäärmevähi korral 100%-ni, nahamelanoomi, rinna- ja emakakehavähi korral üle 90% ning käärsoole- ja neeruvähi korral üle 80%. Vähipatsientide puhul, kellel olid diagnoosimise ajal juba tekkinud kaugmetastaasid, täheldati suurimat viie ja kümne aasta elulemust eesnäärmevähi korral (vastavalt 34% ja 20%).

Eesti vähitõrje tegevuskava 2021–2030 üks tulemusindikaator on suhteline vähielulemus, mille siht on sõnastatud nii: „Elulemusnäitajad paikmeti on samal tasemel kui Põhjamaadel“ [9]. Tabelis 11 on toodud valitud vähipaikmete vanusestandarditud viie aasta suhteline elulemus Eesti, Soome ja Taani võrdluses [16]. Üldjoontes on Eestis elulemus Põhjamaadega samal tasemel mao-, kõhunäärme-, kopsu-, emakakaela-, emakakeha-, munasarja-, eesnäärme-, munandi- ja neeruvähi ning Hodgkini lümfoomi korral. Mõõdukas mahajäämus iseloomustab käär- ja pärasoolevähki, nahamelanoomi, rinnavähki ja mitte-Hodgkini lümfoomi. Kõige suurem mahajäämus ilmneb meeste pea- ja kaelapiirkonna vähi korral (huul, suuõõs, neel).

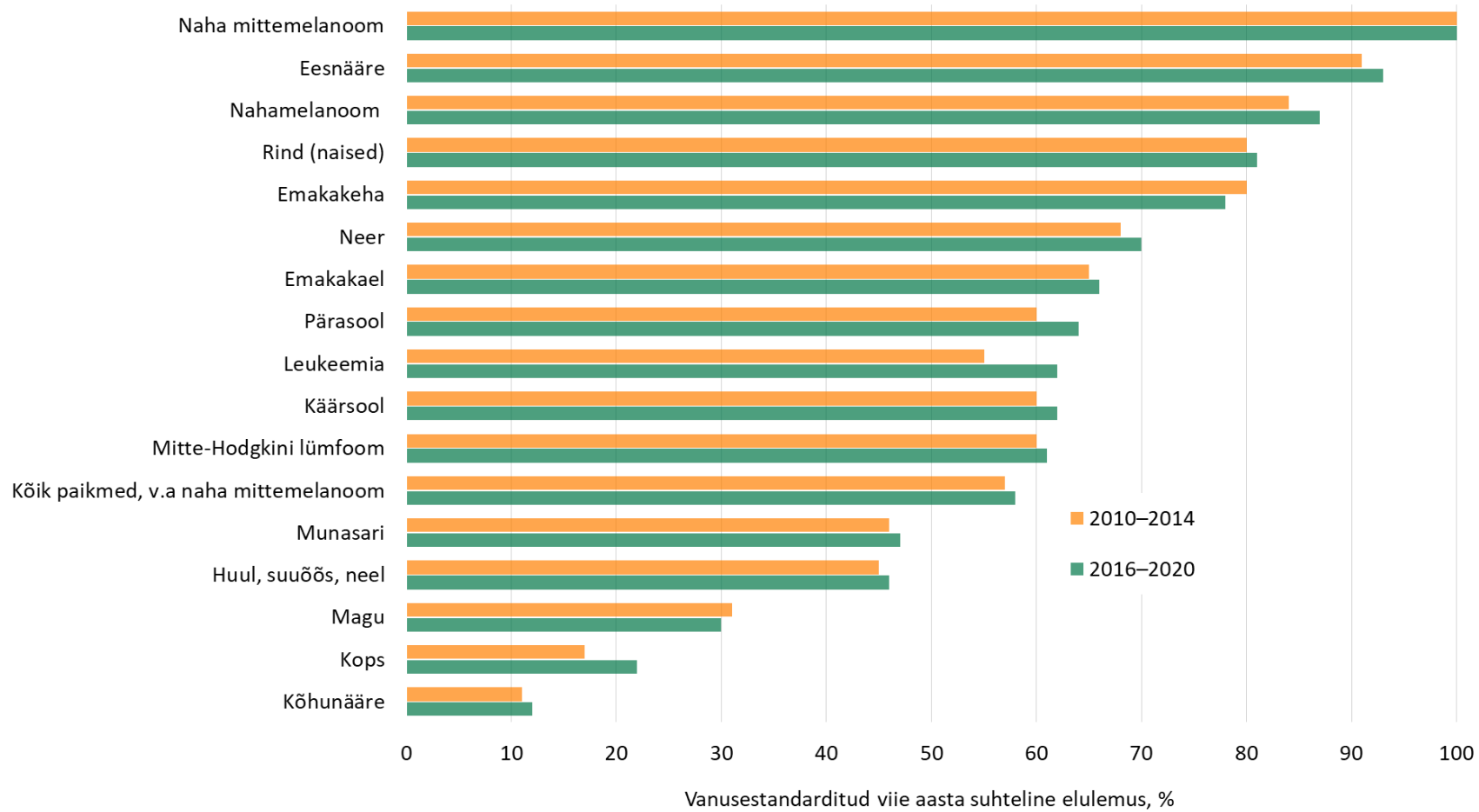
Mõne paikme puhul (kõhunäärme, magu, käärsool, neer) on mõnevõrra vähenenud soolised erinevused elulemuses, mis on samuti üks vähitõrje tegevuskava eesmärke [9].

Tabel 9. Ühe, viie ja kümne aasta suhteline vähielulemus (%) vähipaikme ja soo järgi Eestis 2016–2020

Paige	RHK-10	Ühe aasta suhteline elulemus (%)			Viie aasta suhteline elulemus (%)			Kümne aasta suhteline elulemus (%)		
		Kokku	Mehed	Naised	Kokku	Mehed	Naised	Kokku	Mehed	Naised
Kõik paikmed	C00–96	78	75	80	65	62	68	61	58	63
Kõik paikmed, v.a naha mittemelanoom	C00–96, v.a C44	74	72	75	58	56	59	52	52	54
Huul, suuõõs, neel	C00–14	68	63	81	45	38	63	38	30	58
Söögitoru	C15	33	32	39	9	8	15	7	6	14
Magu	C16	51	52	49	29	29	28	25	25	26
Käärsool	C18	75	75	76	59	58	60	55	54	55
Pärasool	C19–21	83	82	84	62	60	65	55	53	56
Pärak ja pärakukanal	C21	87	87	87	58	41	64	55	30	61
Maks	C22	26	25	27	8	8	9	6	6	6
Sapipõis jm	C23–24	32	34	31	15	17	14	11	12	11
Kõhunääre	C25	25	26	24	8	8	7	6	6	5
Kõri	C32	83	82	91	58	56	74	45	42	73
Kops	C34	45	42	52	20	16	28	14	12	21
Nahamelanoom	C43	95	93	96	84	80	87	83	78	86
Naha mittemelanoom	C44	100	100	100	100	100	100	100	100	100
Pehmed koed	C48–49	70	68	71	46	43	49	44	43	46
Rind	C50	95	84	95	82	60	83	75	60	73
Emakakael	C53	—	—	87	—	—	67	—	—	63
Emakakeha	C54	—	—	91	—	—	79	—	—	76
Munasari	C56	—	—	75	—	—	49	—	—	38
Eesnääre	C61	—	98	—	—	94	—	—	91	—
Munand	C62	—	98	—	—	97	—	—	98	—
Neer	C64	80	80	81	69	69	70	63	61	66
Kusepõis, kuseteed	C65–68	75	77	71	58	59	53	52	52	51

Tabel 9. (järg)

Paige	RHK-10	Ühe aasta suhteline elulemus (%)			Viie aasta suhteline elulemus (%)			Kümne aasta suhteline elulemus (%)		
		Kokku	Mehed	Naised	Kokku	Mehed	Naised	Kokku	Mehed	Naised
Peaaju ja kesknärvisüsteem	C70–72	45	46	44	21	20	22	16	15	18
Kilpnääre	C73	92	89	93	90	82	91	88	80	90
Hodgkini lümfoom	C81	91	90	91	87	88	86	85	87	84
Mitte-Hodgkini lümfoom	C82–85/96	77	75	78	60	59	61	51	50	52
Hulgimüeloom	C90	73	75	71	47	47	46	21	22	21
Leukeemia	C91–95	75	76	73	59	62	56	51	52	49



Joonis 7. Sagedamate vähipaikmete vanusestandarditud viie aasta suhteline elulemus Eestis 2010–2014 ja 2016–2020

Tabel 10. Valitud paikmete ühe, viie ja kümne aasta suhteline vähielulemus (%) leviku järgi Eestis 2016–2020

Paige	RHK-10	Ühe aasta suhteline elulemus (%)			Viie aasta suhteline elulemus (%)			Kümne aasta suhteline elulemus (%)		
		Lokaalne	Naaber-elundite või piirkondlike lümfisõlmede haaratus	Kaug-metastaasid	Lokaalne	Naaber-elundite või piirkondlike lümfisõlmede haaratus	Kaug-metastaasid	Lokaalne	Naaber-elundite või piirkondlike lümfisõlmede haaratus	Kaug-metastaasid
Huul, suuõõs, neel	C00–14	89	68	26	70	41	8	63	31	4
Magu	C16	87	70	26	74	37	3	70	29	2
Käärsool	C18	93	85	46	89	69	13	83	68	9
Pärasool	C19–20	95	90	54	88	71	14	77	62	9
Köhunääre	C25	60	50	12	36	14	1	29	11	1
Kops	C34	90	57	19	64	20	2	49	15	1
Nahamelanoom	C43	100	94	45	95	65	17	94	61	17
Rind (naised)	C50	99	99	63	96	84	20	93	72	6
Emakakeha	C54	99	88	45	93	56	17	90	54	13
Eesnääre	C61	100	100	82	100	96	34	100	85	20
Neer	C64	96	87	37	90	74	17	84	56	10

Tabel 11. Valitud paikmete vanusestandarditud viie aasta suhteline vähielulemus (%) Eestis, Soomes ja Taanis [16] 2016–2020

Paige	RHK-10	Mehed			Naised		
		Eesti	Soome	Taani	Eesti	Soome	Taani
Huul, suuõõs, neel	C00–14	38	65	61	62	77	66
Magu	C16	30	26	29	30	32	36
Käärsool	C18	61	66	73	63	70	73
Pärasool	C19–20	61	67	72	69	74	75
Kõhunääre	C25	11	11	11	13	12	13
Kops	C34	18	16	24	30	26	31
Nahamelanoom	C43	82	92	95	90	95	97
Rind	C50	-	-	-	81	91	90
Emakakael	C53	-	-	-	66	70	75
Emakakeha	C54	-	-	-	78	83	83
Munasari	C56	-	-	-	47	47	44
Eesnääre	C61	93	94	90	-	-	-
Munand	C62	97	94	95	-	-	-
Neer	C64	69	71	75	73	74	74
Hodgkini lümfoom	C81	89	88	95	88	90	95
Mitte-Hodgkini lümfoom	C82–85/96	57	68	80	64	76	85

9 Hematoloogilised kasvajak

9.1 Hematoloogiliste kasvajakate jaotus

Hematoloogilised kasvajak jaotati vähiregistris kasutusel oleva RHK-O-3 klassifikatsiooni morfoloogiliste koodide järgi üheksasse hematoloogiliste kasvajakate rühma: Hodgkini lümfoom, indolentsed B küpserakulised lümfo proliferatiivsed haigused, agressiivsed B küpserakulised lümfo proliferatiivsed haigused, T küpserakulised lümfo proliferatiivsed haigused, plasmarakulised kasvajak, ägedad lümfo idleukeemiad, ägedad müeloidleukeemiad, kroonilised müeloproliferatiivsed haigused ja müelodüsplaasiad. Lisaks on eraldi välja toodud esmasjuhud, mille puhul vähiregistris teave kasvajak täpse morfoloogia kohta puudub (nt lümfoomi või leukeemia täpne vorm on teadmata).

Tabelis 12 on näha käesolevas raportis esitatud hematoloogiliste kasvajakate jaotus RHK-O-3 morfoloogiakoodide alusel.

Tabel 12. Hematoloogiliste kasvajate rühmadele vastavad RHK-O-3 morfoloogiad

Morfoloogia kooditekst	RHK-O-3 kood
Hodgkini lümfoom	
Hodgkini lümfoom, täpsustamata	96503
Hodgkini lümfoom, lümfotsüütiderohke	96513
Hodgkini lümfoom, segarakuline, täpsustamata	96523
Hodgkini lümfoom, lümfotsüütidevaene, täpsustamata	96533
Hodgkini lümfoom, nodulaarne lümfotsütaarne	96593
Hodgkini lümfoom, nodulaarse skleroosiga, täpsustamata	96633
Hodgkini lümfoom, nodulaarse skleroosiga, rakulises faasis	96643
Hodgkini lümfoom, nodulaarse skleroosiga, aste 1	96653
Hodgkini lümfoom, nodulaarse skleroosiga, aste 2	96673
Indolentsed B küpserakulised lümfoproliferatiivsed haigused	
Pahaloomuline lümfoom, B-väikerakk lümfotsüütne, täpsustamata	96703
Pahaloomuline lümfoom, lümfoplasmotsüütne	96713
Mantelrakklümfoom	96733
Pahaloomuline lümfoom, segatüüpi väike- ja suurakk, difuusne	96753
Põrna marginaaltsooni B-rakk lümfoom	96893
Folikulaarne lümfoom, täpsustamata	96903
Folikulaarne lümfoom, aste 2	96913
Folikulaarne lümfoom, aste 1	96953
Folikulaarne lümfoom, aste 3	96983
B-rakuline marginaaltsooni lümfoom, täpsustamata	96993
Waldenströmi makroglobulineemia	97613
B-rakuline krooniline lümfotsüüt leukeemia/väikerakklümfoom	98233
Prolümfotsüütne leukeemia, täpsustamata	98323
B-prolümfotsüütne leukeemia, B-rakuline tüüp	98333
Karvrakkleukeemia	99403
Agressiivsed B küpserakulised lümfoproliferatiivsed haigused	
Hodgkini lümfoomi tunnustega mitte-Hodgkini lümfoom	95963
Primaarne keskseinandi (tüümuseline) B-suurrakklümfoom	96793
Difuusne B-suurrakklümfoom, täpsustamata	96803
Difuusne B-suurrakklümfoom, immuunoblastne	96843
Burkitti lümfoom, täpsustamata	96873
Burkitti leukeemia, täpsustamata	98263
Lümfoproliferatiivne haigus, täpsustamata	99701
T küpserakulised lümfoproliferatiivsed haigused	
Seenjas mükoos e fungoidmükoos	97003
Sézary sündroom	97013
T küpserakuline lümfoom, täpsustamata	97023
Angioimmuunoblastne T-rakklümfoom	97053
Nahaalne pannikuliidi-taoline T-rakklümfoom	97083
Primaarne naha T-rakklümfoom, täpsustamata	97093
Anaplastiline suurakklümfoom, T-rakk ja Null-rakk tüüp	97143
Hepatosplenaalne gamma-delta rakk lümfoom	97163

Tabel 12. (järg)

Morfoloogia kooditekst	RHK-O-3 kood
Primaarne naha CD30+ T-rakk lümfoproliferatiivne haigus	97183
Ekstranodaalne NK/T-rakklümfoom, nina tüüpi	97193
T-granulaarrakuline lümfotsütleukeemia	98311
Prolümfotsütleukeemia, T-rakuline tüüp	98343
Plasmarakulised kasvaja	
Plasmotsütoom, täpsustamata	97313
Hulgimüeloom	97323
Plasmarakk leukeemia	97333
Plasmotsütoom, luuväline	97343
Raskeaheltõbi, täpsustamata	97623
Immuunoglobuliini ladestustõbi	97691
Täpsustamata leukeemiad	
Leukeemia, täpsustamata	98003
Äge leukeemia, täpsustamata	98013
Lümfotsütleukeemia, täpsustamata	98203
Müeloidleukeemia, täpsustamata	98603
Ägedad lümfoideleukeemiad	
Eellasrakuline lümfoblastne lümfoom, täpsustamata	97273
Eellasrakuline lümfoblastne lümfoom, B-rakk	97283
Eellasrakuline lümfoblastne lümfoom, T-rakk	97293
Äge bifenotüüpne leukeemia	98053
Täiskasvanu T-rakkleukeemia/lümfoom (HTLV-1 positiivne)	98273
Eellasrakuline lümfoblastne leukeemia, täpsustamata	98353
Eellasrakuline lümfoblastne leukeemia, B-rakk	98363
Eellasrakuline lümfoblastne leukeemia, T-rakk	98373
Ägedad müeloidleukeemiad	
Äge müeloidleukeemia, M6 tüüp e äge erütroidleukeemia	98403
Äge müeloidleukeemia, täpsustamata	98613
Äge promüelotsütleukeemia, t(15;17)(q22;q11-12)	98663
Äge müelomonotsütleukeemia	98673
Äge basofiilleukeemia	98703
Äge müeloidleukeemia luuüdi eosinofiilide arvu muutusega	98713
Äge müeloidleukeemia, minimaalse diferentseerumisega	98723
Äge müeloidleukeemia, küpsemistunnusteta	98733
Äge müeloidleukeemia, küpsemistunnustega	98743
Äge monotsütleukeemia	98913
Äge müeloidleukeemia multilineaarse düsplaasiaga	98953
Äge müeloidleukeemia, t(8;21)(q22;q22)	98963
Äge müeloidleukeemia, 11q23 hälvetega	98973
Äge megakarüoblastleukeemia	99103
Ravist lähtunud äge müeloidleukeemia, täpsustamata	99203

Tabel 12. (järg)

Morfoloogia kooditekst	RHK-O-3 kood
Müeloidsarkoom	99303
Äge panmüeloos müelofibroosiga	99313
Kroonilised müeloproliferatiivsed haigused	
Mastotsüütne sarkoom	97403
Pahaloomuline mastotsütoos	97413
Krooniline müeloidleukeemia, täpsustamata	98633
Krooniline müeloidleukeemia, BCR-ABL positiivne	98753
Atüüpiline krooniline müeloidleukeemia, BCR-ABL negatiivne	98763
Krooniline müelomonotsütleukeemia, täpsustamata	99453
Tõeline polütsüteemia	99503
Krooniline müeloproliferatiivne haigus, täpsustamata	99603
Müeloidmetaplaasiaga müeloskleroos	99613
Essentsiaalne trombotsüteemia	99623
Krooniline neutrofiilne leukeemia	99633
Krooniline eosinofiilne leukeemia	99643
Müeloproliferatiivne haigus, täpsustamata	99751
Müelodüsplaasiad	
Refraktoorne aneemia	99803
Refraktoorne aneemia ringjate sideroblastidega	99823
Refraktoorne aneemia blastide liiaga	99833
Rohkete transformeerunud blastidega refraktoorne aneemia	99843
Refraktoorne tsütopeeniamultilineaarne düsplaasiaga	99853
Müelodüsplastiline sündroom,	99863
Ravist lähtunud müelodüsplastiline sündroom, täpsustamata	99873
Müelodüsplastiline sündroom, täpsustamata	99893

9.2 Haigestumus

Hematoloogiliste kasvajate esmasjuhud morfoloogia alusel aastatel 2011–2015 ja 2016–2020 on esitatud tabelis 13.

Hematoloogiliste kasvajate tavaline ja standarditud haigestumuskordaja 2011–2015 ja 2016–2020 aastatel on toodud tabelites 14a (mehed) ja 14b (naised). Mõlemal perioodil diagnoositi nii meeste kui naiste seas kõige sagedamini B-rakulist kroonilist lümfotsütleukeemia/väikerakkloomi ja difuusset B-suurrakkloomi. Naiste seas diagnoositi sageli ka hulgimüeloomi.

Tabel 13. Hematoloogiliste kasvajate esmasjuhtude arv morfoloogia alusel Eestis 2011–2015 ja 2016–2020

Morfoloogia	RHK-O-3	2011–2015			2016–2020		
		Mehed	Naised	Kokku	Mehed	Naised	Kokku
Lümfoom, täpsustamata	95903	19	25	44	18	18	36
Mitte-Hodgkini lümfoom, täpsustamata	95913	30	38	68	30	24	54
Hodgkini lümfoom		90	101	191	89	88	177
Hodgkini lümfoom, täpsustamata	96503	25	21	46	9	9	18
Hodgkini lümfoom, segarakuline, täpsustamata	96523	16	18	34	16	14	30
Hodgkini lümfoom, nodulaarse skleroosiga	96633–96673	40	59	99	50	60	110
Indolentsed B küpserakulised lümfoproliferatiivsed haigused		432	435	867	515	446	961
Pahaloomuline lümfoom, B-väikerakk lümfotsüütne, täpsustamata	96703	32	46	78	36	43	79
Mantelrakklümfoom	96733	42	26	68	63	27	90
Folikulaarne lümfoom	96903–96983	20	35	55	41	44	85
B-rakuline marginaaltsooni lümfoom, täpsustamata	96993	30	27	57	27	50	77
Waldenströmi makroglobulineemia	97613	5	14	19	17	17	34
B-rakuline krooniline lümfotsüüt leukeemia/väikerakklümfoom	98233	278	270	548	306	236	542
Agressiivsed B küpserakulised lümfoproliferatiivsed haigused		245	256	501	239	281	520
Difuusne B-suurrakklümfoom, täpsustamata	96803–96843	230	240	470	224	266	490
T küpserakulised lümfoproliferatiivsed haigused		52	44	96	47	48	95
T küpserakuline lümfoom, täpsustamata	97023	21	19	40	24	27	51
Plasmarakulised kasvajakud		184	256	440	247	293	540
Hulgimüeloom	97323	175	238	413	235	288	523
Täpsustamata leukeemiad	98003, 98013, 98203, 98603	23	19	42	12	24	36

Tabel 13. (järg).

Morfoloogia	RHK-O-3	2011–2015			2016–2020		
		Mehed	Naised	Kokku	Mehed	Naised	Kokku
Ägedad lümfoidleukeemiad		23	39	62	22	17	39
Eellasrakuline lümfoblastne leukeemia	98353–98373	22	34	56	13	13	26
Ägedad müeloidleukeemiad		109	143	252	125	124	249
Äge müeloidleukeemia, täpsustamata	98613	49	69	118	64	57	121
Kroonilised müeloproliferatiivsed haigused		206	298	504	288	358	646
Krooniline müeloidleukeemia, täpsustamata	98633	29	17	46	10	16	26
Krooniline müeloidleukeemia, BCR-ABL positiivne	98753	8	8	16	25	20	45
Krooniline müelomonotsüütleukeemia, täpsustamata	99453	29	17	46	42	27	69
Tõeline polütsüteemia	99503	42	82	124	87	105	192
Krooniline müeloproloferatiivne haigus, täpsustamata	99603	36	44	80	43	55	98
Müeloidmetaplaasiaga müeloskleroos	99613	26	35	61	16	10	26
Essentsiaalne trombosüteemia	99623	30	84	114	58	117	175
Müelodüsplaasiad		94	94	188	92	130	222
Refraktoorne aneemia	99803–99843	42	48	90	48	65	113
Müelodüsplastiline sündroom, täpsustamata	99893	36	37	73	28	38	66

Tabel 14a. Hematoloogiliste kasvajate tavaline ja standarditud haigestumuskordaja Eestis 2011–2015 ja 2016–2020, mehed

Morfoloogia	RHK-O-3	Haigestumuskordaja 100 000 inimese kohta			
		2011–2015		2016–2020	
		Tavaline	Standarditud*	Tavaline	Standarditud*
Lümfoom, täpsustamata	95903	0,7	0,6	0,7	0,5
Mitte-Hodgkini lümfoom, täpsustamata	95913	1,2	0,9	1,2	0,8
Hodgkini lümfoom		3,5	3,5	3,5	3,7
Hodgkini lümfoom, täpsustamata	96503	1,0	0,9	0,4	0,3
Hodgkini lümfoom, segarakuline, täpsustamata	96523	0,6	0,6	0,6	0,6
Hodgkini lümfoom, nodulaarse skleroosiga	96633–96673	1,6	1,7	2,0	2,3
Indolentsed B küpserakulised lümfoproliferatiivsed haigused		17,0	11,8	20,1	13,2
Pahaloomuline lümfoom, B-väikerakk lümfootsüütne, täpsustamata	96703	1,3	0,8	1,4	0,8
Mantelrakklümfoom	96733	1,6	1,1	2,5	1,6
Folikulaarne lümfoom	96903–96983	0,8	0,6	1,6	1,4
B-rakuline marginaalsoonilise lümfoom, täpsustamata	96993	1,2	0,9	1,1	0,7
Waldenströmi makroglobulineemia	97613	0,2	0,1	0,7	0,4
B-rakuline krooniline lümfootsüüt leukeemia/väikerakk lümfoom	98233	10,9	7,5	11,9	7,6
Agressiivsed B küpserakulised lümfoproliferatiivsed haigused		9,6	7,3	9,3	6,6
Difuusne B-suurrakklümfoom, täpsustamata	96803–96843	9,0	6,7	8,7	6,0
T küpserakulised lümfoproliferatiivsed haigused		2,0	1,6	1,8	1,3
T küpserakuline lümfoom, täpsustamata	97023	0,8	0,7	0,9	0,6
Plasmarakulised kasvajakud		7,2	5,1	9,6	6,1
Hulgimüeloom	97323	6,9	4,8	9,2	5,8

* Vanusestandarditud maailma täiskasvanute (vanus 15+) standardrahvastiku alusel

Tabel 14a. (järg)

Morfoloogia	RHK-O-3	Haigestumuskordaja 100 000 inimese kohta			
		2011–2015		2016–2020	
		Tavaline	Standarditud*	Tavaline	Standarditud*
Täpsustamata leukeemiad	98003, 98013, 98203, 98603	0,9	0,6	0,5	0,3
Ägedad lümfoidleukeemiad		0,9	0,9	0,9	0,9
Eellasrakuline lümfoblastne leukeemia	98353–98373	0,9	0,9	0,5	0,6
Ägedad müeloidleukeemiad		4,3	3,1	4,9	3,3
Äge müeloidleukeemia, täpsustamata	98613	1,9	1,3	2,5	1,7
Kroonilised müeloproliferatiivsed haigused		8,1	5,9	11,2	7,6
Krooniline müeloidleukeemia, täpsustamata	98633	1,1	0,9	0,4	0,3
Krooniline müeloidleukeemia, BCR-ABL positiivne	98753	0,3	0,3	1,0	0,8
Krooniline müelomonotsüütleukeemia, täpsustamata	99453	1,1	0,7	1,6	1,0
Töeline polütsüteemia	99503	1,6	1,2	3,4	2,3
Krooniline müeloproloferatiivne haigus, täpsustamata	99603	1,4	1,0	1,7	1,0
Müeloidmetaplaasiaga müeloskleroos	99613	1,0	0,7	0,6	0,3
Essentsiaalne trombosüteemia	99623	1,2	0,9	2,3	1,7
Müelodüsplaasiad		3,7	2,3	3,6	2,0
Refraktoorne aneemia	99803–99843	1,6	1,0	1,9	1,1
Müelodüsplastiline sündroom, täpsustamata	99893	1,4	0,9	1,1	0,6

* Vanusestandarditud maailma täiskasvanute (vanus 15+) standardrahvastiku alusel

Tabel 14b. Hematoloogiliste kasvajate tavaline ja standarditud haigestumuskordaja Eestis 2011–2015 ja 2016–2020, naised

Morfoloogia	RHK-O-3	Haigestumuskordaja 100 000 inimese kohta			
		2011–2015		2016–2020	
		Tavaline	Standarditud*	Tavaline	Standarditud*
Lümfoom, täpsustamata	95903	0,8	0,3	0,6	0,2
Mitte-Hodgkini lümfoom, täpsustamata	95913	1,3	0,6	0,8	0,4
Hodgkini lümfoom		3,4	3,8	3,0	3,6
Hodgkini lümfoom, täpsustamata	96503	0,7	0,8	3,0	3,6
Hodgkini lümfoom, segarakuline, täpsustamata	96523	0,6	0,6	0,5	0,3
Hodgkini lümfoom, nodulaarse skleroosiga	96633–96673	2,0	2,4	2,0	2,9
Indolentsed B küpserakulised lümfoproliferatiivsed haigused		14,4	7,2	15,0	6,8
Pahaloomuline lümfoom, B-väikerakk lümfootsütne, täpsustamata	96703	1,5	0,7	1,4	0,6
Mantelrakklümfoom	96733	0,9	0,4	0,9	0,4
Folikulaarne lümfoom	96903–96983	1,2	0,9	1,5	1,0
B-rakuline marginaaltooni lümfoom, täpsustamata	96993	0,9	0,6	1,7	0,9
Waldenströmi makroglobulineemia	97613	0,5	0,1	0,6	0,2
B-rakuline krooniline lümfootsütteleukeemia/väikerakklümfoom	98233	9,0	4,2	7,9	3,3
Agressiivsed B küpserakulised lümfoproliferatiivsed haigused		8,5	4,6	9,5	5,0
Difuusne B-suurrakklümfoom, täpsustamata	96803–96843	8,0	4,3	9,0	4,4
T küpserakulised lümfoproliferatiivsed haigused		1,5	1,0	1,6	0,9
T küpserakuline lümfoom, täpsustamata	97023	0,6	0,3	0,9	0,6
Plasmarakulised kasvajad		7,2	5,1	9,6	6,1
Hulgimüeloom	97323	6,9	4,8	9,2	5,8

* Vanusestandarditud maailma täiskasvanute (vanus 15+) standardrahvastiku alusel

Tabel 14b. (järg)

Morfoloogia	RHK-O-3	Haigestumuskordaja 100 000 inimese kohta			
		2011–2015		2016–2020	
		Tavaline	Standarditud*	Tavaline	Standarditud*
Täpsustamata leukeemiad	98003, 98013, 98203, 98603	0,6	0,2	0,8	0,2
Ägedad lümfoidleukeemiad		1,3	1,0	0,6	0,6
Eellasrakuline lümfoblastne leukeemia	98353–98373	1,1	0,9	0,4	0,4
Ägedad müeloidleukeemiad		4,7	2,7	4,2	2,2
Äge müeloidleukeemia, täpsustamata	98613	2,3	1,3	1,9	0,9
Kroonilised müeloproliferatiivsed haigused		2,3	8,5	12,1	6,3
Krooniline müeloidleukeemia, täpsustamata	98633	0,6	0,3	0,5	0,3
Krooniline müeloidleukeemia, BCR-ABL positiivne	98753	0,3	0,2	0,7	0,6
Krooniline müelomonotsüütleukeemia, täpsustamata	99453	0,6	0,3	0,9	0,3
Tõeline polütsüteemia	99503	2,7	1,4	3,5	1,6
Krooniline müeloproloferatiivne haigus, täpsustamata	99603	1,5	0,7	1,9	0,8
Müeloidmetaplaasiaga müeloskleroos	99613	1,2	0,6	0,3	0,1
Essentsiaalne trombosüteemia	99623	2,8	1,6	3,9	2,4
Müelodüsplaasiad		3,1	1,1	4,4	1,5
Refraktoorne aneemia	99803–99843	1,6	0,7	2,2	0,8
Müelodüsplastiline sündroom, täpsustamata	99893	1,2	0,4	1,3	0,4

* Vanusestandardituid maailma täiskasvanute (vanus 15+) standardrahvastiku alusel

9.3 Elulemus

Tabelis 15 on toodud hematoloogiliste kasvajate viie aasta suhteline elulemus kasvaja morfoloogia ja soo järgi aastatel 2016–2020. Nii meeste kui naiste seas oli viie aasta suhteline elulemus kõrgeim Hodgkini lümfoomi (89%) ja krooniliste müeloproliferatiivsete haiguste puhul (meestel 74%, naistel 87%). Viie aasta suhteline elulemus oli nii meestel kui naistel madalaim ägedate müeloidleukeemiate puhul (vastavalt 10% ja 15%).

Tabel 15. Hematoloogiliste kasvajate viie aasta suhteline elulemus (%) kasvaja morfoloogia ja soo järgi Eestis 2016–2020

Kasvaja	Viie aasta suhteline elulemus (%)		
	Kokku	Mehed	Naised
Hodgkini lümfoom	89	89	89
Indolentsed B-küpserakulised lümfoproliferatiivsed haigused	81	80	82
Agressiivsed B-küpserakulised lümfoproliferatiivsed haigused	57	60	54
T-küpserakulised lümfoproliferatiivsed haigused	44	37	50
Plasmarakulised kasvajakud	49	52	47
Ägedad lümfoideleukeemiad	50	55	44
Ägedad müeloidleukeemiad	13	10	15
Kroonilised müeloproliferatiivsed haigused	82	74	87
Müelodüsplaasiad	38	37	39

Kasutatud kirjandus

- [1] Ferlay J, Burkhard C, Whelan S, et al. Check and conversion programs for cancer registries. IARC Technical Report No. 42, Lyon 2005.
- [2] Waterhouse J, Muir C, Correa P, et al. Cancer in Five Continents, Vol III. IARC Scientific Publications No. 15. Lyon, 1976, p. 456.
- [3] Dickman PW, Adami HO. Interpreting trends in cancer patient survival. *J Intern Med* 2006; 260: 103–17.
- [4] Ederer F, Heise H. Instructions to IBM 650 programmers in processing survival computations. Methodological note no. 10. Bethesda, MD: End Results Evaluation Section, National Cancer Institute; 1959.
- [5] Brenner H, Gefeller O, Hakulinen T. Period analysis for 'up-to-date' cancer survival data: theory, empirical evaluation, computational realisation and applications. *Eur J Cancer* 2004; 40: 326–35.
- [6] Corazziari I, Quinn M, Capocaccia R. Standard cancer patient population for age standardising survival ratios. *Eur J Cancer* 2004; 40: 2307–2316.
- [7] Bray F, Parkin DM. Evaluation of data quality in the cancer registry: principles and methods. Part I: comparability, validity and timeliness. *Eur J Cancer* 2009;45:47–55.
- [8] Brierley JD, Gospodarowicz MK, Wittekind C, eds. International Union Against Cancer (UICC). TNM Classification of Malignant Tumours, 8th Edition. Oxford: Wiley Blackwell; 2017.
- [9] Vähitörje tegevuskava 2021–2030. Tallinn: Sotsiaalministeerium, Tervise Arengu Instituut; 2021.
- [10] Tervise Arengu Instituut. Rahvastiku tervise aastaraamat 2023. Eesti rahvastiku tervise ja selle mõjurite muutused 2000–2022. Tallinn: Tervise Arengu Instituut, 2023.
- [11] Innos K, Baburin A, Kotsar A, et al. Prostate cancer incidence, mortality and survival trends in Estonia, 1995–2014. *Scand J Urol* 2017;51:442–449.
- [12] Aareleid T, Zimmermann ML, Baburin A, Innos K. Divergent trends in lung cancer incidence by gender, age and histological type in Estonia: a nationwide population-based study. *BMC Cancer* 2017;17:596.
- [13] Pärn M-L, Innos K, Baburin A, et al. Gastric cancer trends in Estonia 1995-2014 by age, subsite, morphology and stage *Acta Oncol* 2019;58:283–289.
- [14] Innos K, Baburin A, Hallik R, et al. Rinna-, emakakaela- ja jämesoolevähi söeluuringute tulemused Eestis. *Eesti arst* 2022;101(5):281–290.
- [15] Mägi M, Härmaorg P, Kullamaa L, Nõmm O, Innos K. Vähk Eestis: haigestumus 2019 ja elulemus 2015–2019. Tallinn: Tervise Arengu Instituut; 2022.
- [16] Larønningen S, Ferlay J, Bray F, et al. NORDCAN: Cancer Incidence, Mortality, Prevalence and Survival in the Nordic Countries, Version 9.2 (23.06.2022). Association of the Nordic Cancer Registries. Cancer Registry of Norway. Available from: <https://nordcan.iarc.fr/>, accessed on 15.08.2023.

